



POLITECNICO  
DI TORINO

DET

Department of Electronics and Telecommunications

# Richiami e Complementi di Teoria dei Circuiti

# Sistemi Elettronici e Tecnologie

- I sistemi elettronici studiati nel corso sono ***circuiti elettrici***.
- Per uno studio proficuo, è *indispensabile avere piena padronanza dei contenuti del corso di Elettrotecnica*
- Si presenterà ora una panoramica dei principali concetti che verranno utilizzati ampiamente nel seguito e si assumono per noti.
- Si integreranno i concetti visti ad Elettrotecnica con concetti nuovi utili a introdurre le caratteristiche elettriche dei sistemi elettronici.



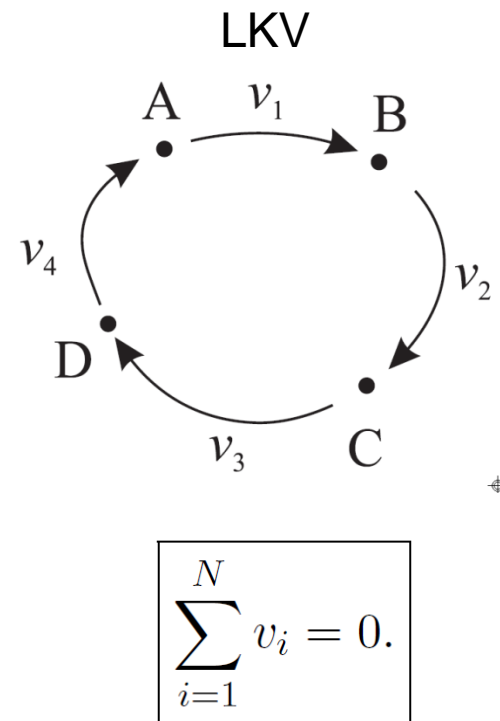
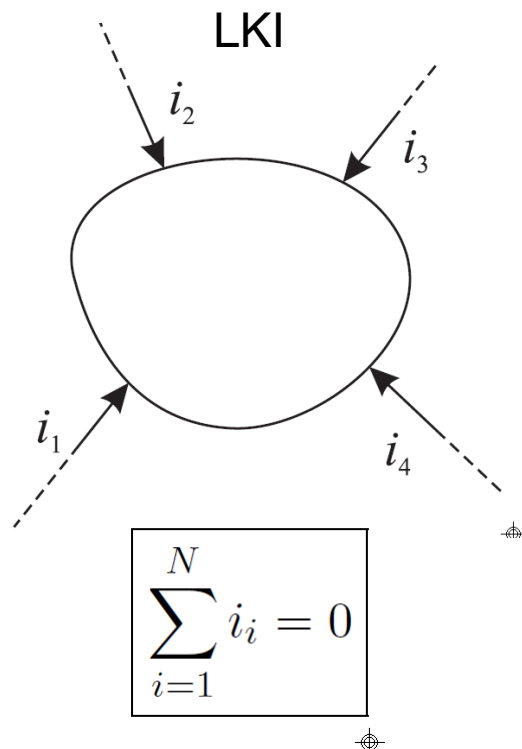
# Concetti di Base

- Tensione e corrente
  - LKV e LKI
- Bipoli Lineari
  - Convenzioni di segno e potenza
  - Generatori indipendenti: relazioni costitutive
  - Bipoli lineari: resistori, condensatori e induttori: relazioni costitutive
  - Connessioni in Serie e Parallelo
  - Partitore di Tensione e di Corrente
  - Principio di Sovrapposizione degli Effetti
  - Teorema di Millman
  - Resistenza equivalente
  - Bipoli equivalenti Thévenin e Norton



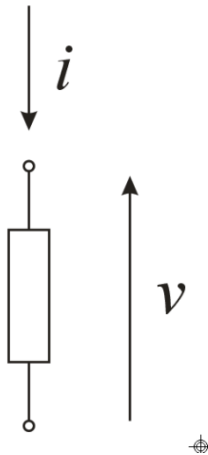
# Concetti di Base

- Tensione e corrente
- Leggi di Kirchhoff delle tensioni (LKV) e delle correnti (LKI): conoscerle e saperle usare...



# Bipoli

- Elementi a due terminali
- Si definiscono una tensione  $v$  ai capi del bipolo ed una corrente  $i$  che in esso fluisce
- caratterizzati da una *relazione costitutiva* che esprime un legame tra  $v$  ed  $i$



## ***relazioni costitutive***

$g(v, i, t) = 0$  relazione in forma implicita

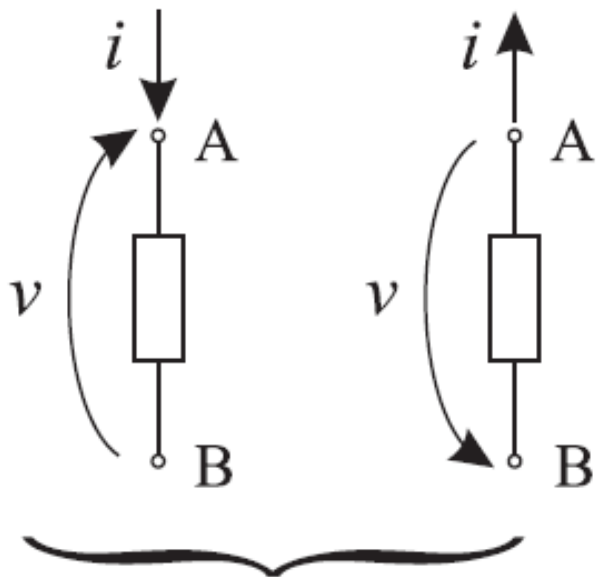
$i = f(v)$  bipolo (tempo-invariante) controllato in tensione

$v = f(i)$  bipolo (tempo-invariante) controllato in corrente



# Bipoli

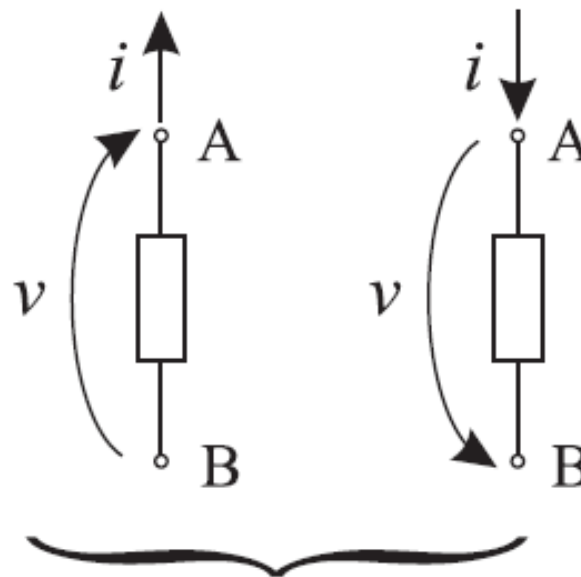
- Convenzioni di segno e significato energetico



Convenzione di segno  
degli utilizzatori

Potenza **assorbita** dal bipolo

$$P_a(t) = v(t)i(t)$$



Convenzione di segno  
dei generatori

Potenza **erogata** dal bipolo

$$P_d(t) = v(t)i(t)$$



POLITECNICO  
DI TORINO

DET  
Department of Electronics and Telecommunications

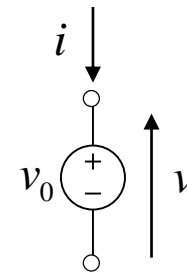
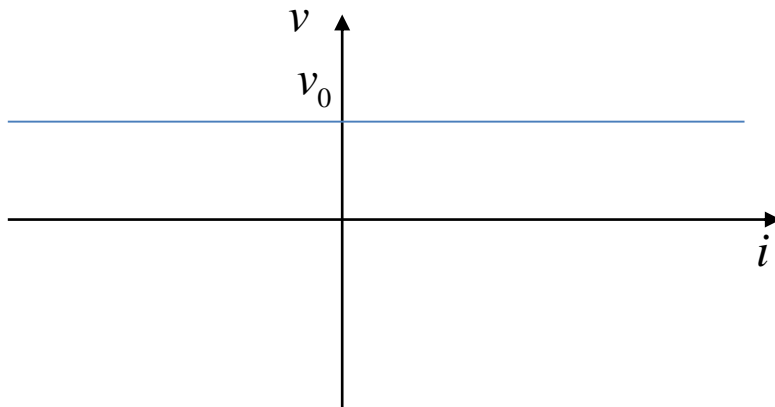
# Bipoli Lineari (affini) adinamici

- La più generale relazione di un bipolo lineare (affine), tempo-invariante e adinamico (resistivo, senza memoria)

$$\alpha v + \beta i + \gamma = 0 \quad [\alpha] = V^{-1}, [\beta] = A^{-1}, [\gamma] = \text{num}$$

- Tutti i bipoli visti nel corso di elettrotecnica hanno relazioni deducibili da questa

Generatore indipendente di tensione



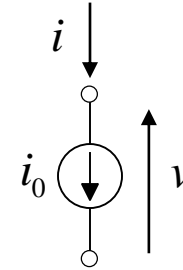
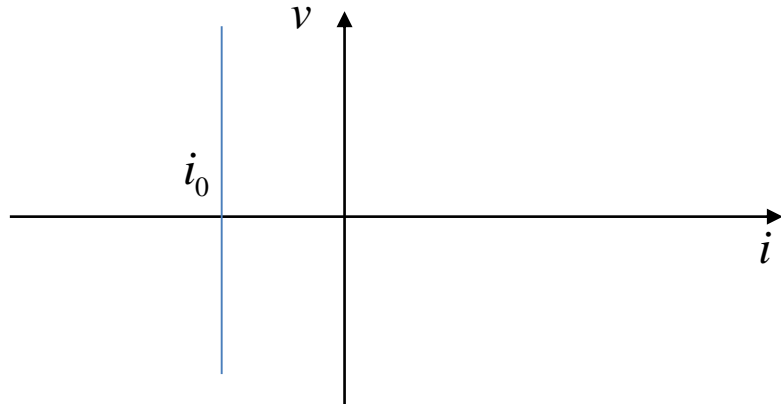
$$v = v_0 \quad (\forall i)$$

$$\alpha \neq 0, \beta = 0, \gamma \neq 0$$



# Bipoli Lineari (affini) adinamici - II

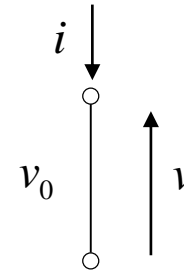
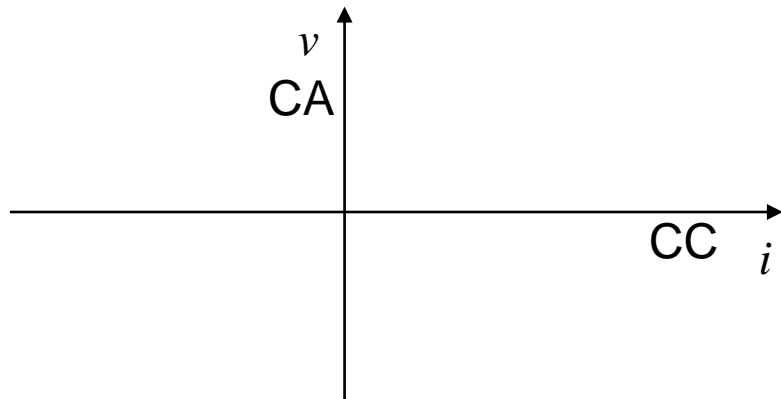
Generatore indipendente di corrente



$$i = i_0 \quad (\forall v)$$

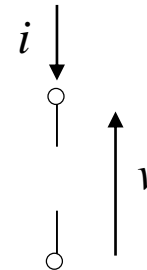
$$\alpha = 0, \beta \neq 0, \gamma \neq 0$$

Cortocircuito e circuito aperto



$$v = 0 \quad (\forall i)$$

$$\alpha \neq 0, \beta = 0, \gamma = 0$$



$$i = 0 \quad (\forall v)$$

$$\alpha = 0, \beta \neq 0, \gamma = 0$$



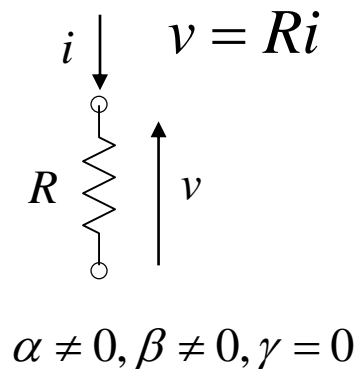
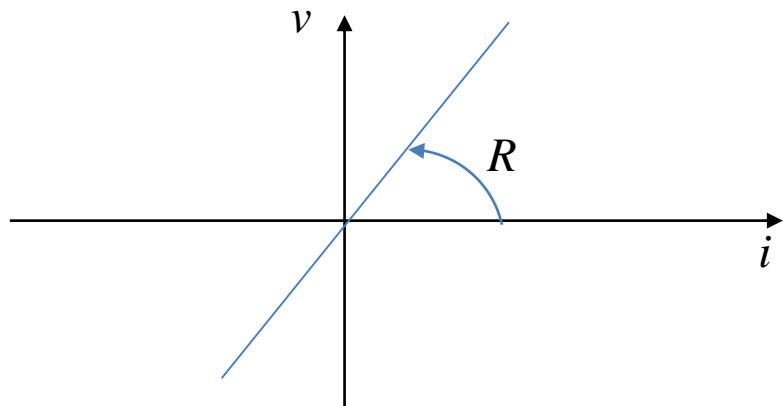
POLITECNICO  
DI TORINO

DET  
Department of Electronics and Telecommunications

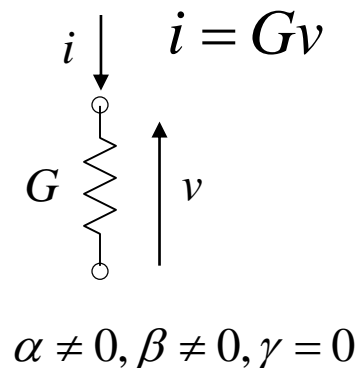
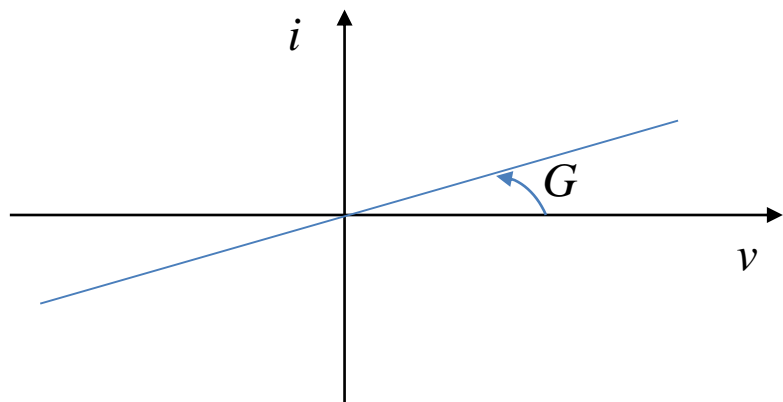


# Bipoli Lineari (affini) adinamici - III

Resistore (a parametri  $R$ )



Resistore (a parametri  $G$ )



■ Note:

1. Le relazioni  $v = Ri$  e  $i = Gv$  valgono solo considerando tensioni e correnti scelti secondo **la convenzione dell'utente**
2.  $G = 1/R$  per  $R \neq 0$
3. CC e CA possono essere considerati casi particolari di generatori ideali di tensione (con  $v_0 = 0$ ) e corrente (con  $i_0 = 0$ ) e di un resistore (con  $R = 0$  o con  $G = 0$ )

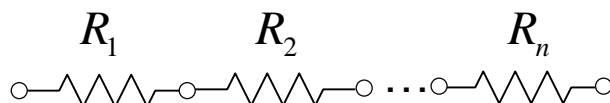


POLITECNICO  
DI TORINO

DET  
Department of Electronics and Telecommunications

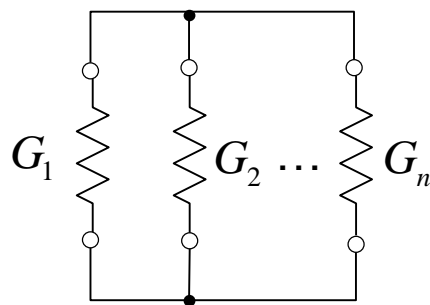
# Connessione in Serie e Parallelo

- Serie: i bipoli hanno a due a due un morsetto in comune (che non è collegato a nient'altro)



$$R_{eq} = \sum_{k=1}^n R_k$$

- Parallelo: I bipoli formano un unico taglio



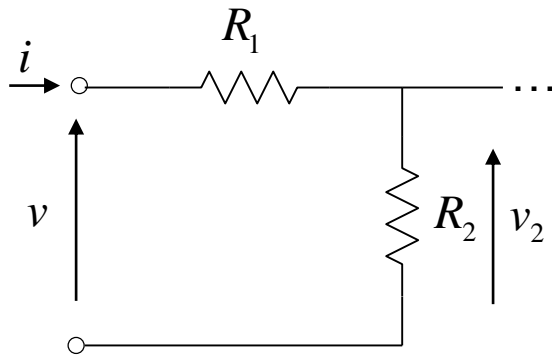
$$G_{eq} = \sum_{k=1}^n G_k = \left( \sum_{k=1}^n \frac{1}{R_k} \right)$$

- Per  $n = 2$ ,  $R_{eq} = R_1 + R_2$  per la serie  $R_{eq} = R_1 R_2 / (R_1 + R_2)$  per il parallelo



# Partitore di tensione e di corrente

## ■ Partitore di tensione

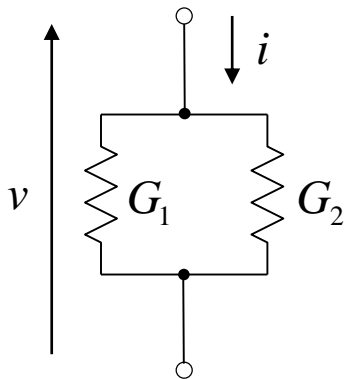


$$i = \frac{v}{R_1 + R_2} \quad v_2 = R_2 i$$

$$v_2 = \left( \frac{R_2}{R_1 + R_2} \right) v$$

Rapporto di partizione

## ■ Partitore di corrente



$$v = \frac{i}{G_1 + G_2} \quad i_2 = G_2 v$$

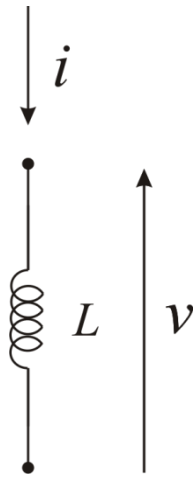
$$i_2 = \left( \frac{G_2}{G_1 + G_2} \right) v$$

Rapporto di partizione



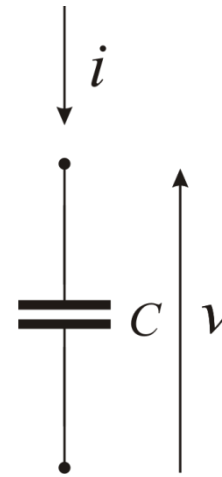
# Concetti di Base

- Bipoli lineari dinamici (reattivi, con memoria)
  - Induttori ideali
  - Condensatori ideali



**Induttore  
ideale**

$$v = L \frac{di}{dt}$$



**Condensatore  
ideale**

$$i = C \frac{dv}{dt}$$



# Concetti di Base

- Principio (Teorema) di sovrapposizione degli effetti

Presi una rete elettrica **lineare** con  $n_v$  generatori indipendenti di tensione ( $v_{01}, v_{02}, \dots v_{0n}$ ) e  $n_i$  generatori indipendenti di corrente ( $i_{01}, i_{02}, \dots i_{0n}$ ), ciascuna tensione/corrente può essere scritta come combinazione lineare dei valori di tali sorgenti

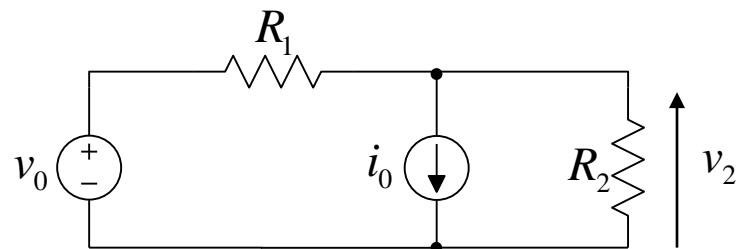
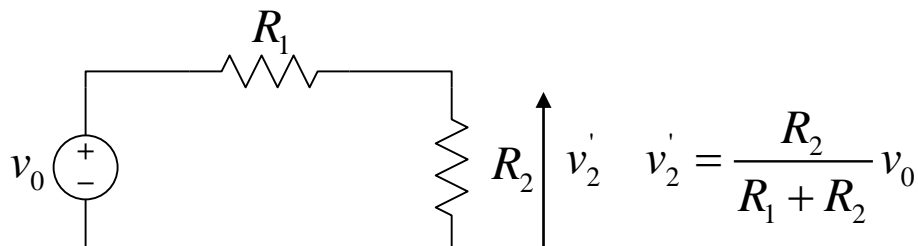
$$v_j = \sum_{k=1}^{n_v} \alpha_k v_{0k} + \sum_{k=1}^{n_i} \beta_k i_{0k}$$

- In pratica si considera la soluzione della rete considerando l'effetto di ciascun generatore indipendente avendo annullato tutti gli altri
- Si ripete questa operazione per ciascun generatore
- Si sommano i risultati ottenuti



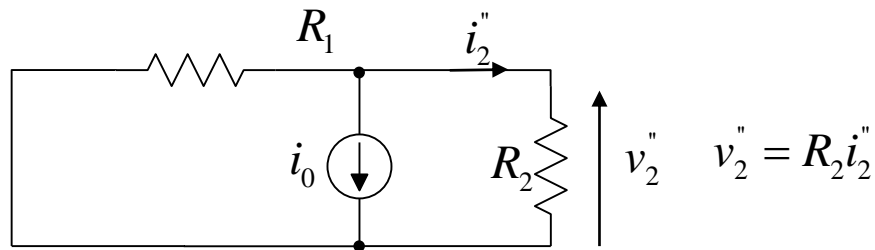
# Sovrapposizione degli effetti - Esempio

- Determino  $v_2'$  dal circuito ottenuto annullando  $i_0$  (sostituendo il generatore di corrente con un CA)



$R_1, R_2, i_0, v_0$  noti,  $v_2 = ?$

- Determino  $v_2''$  da circuito ottenuto annullando  $v_0$  (sostituendo il generatore di tensione con un CC)



$$v_2'' = R_2 \left( -\frac{G_2}{G_1 + G_2} i_0 \right) = -\frac{R_2 R_1}{R_1 + R_2} i_0$$

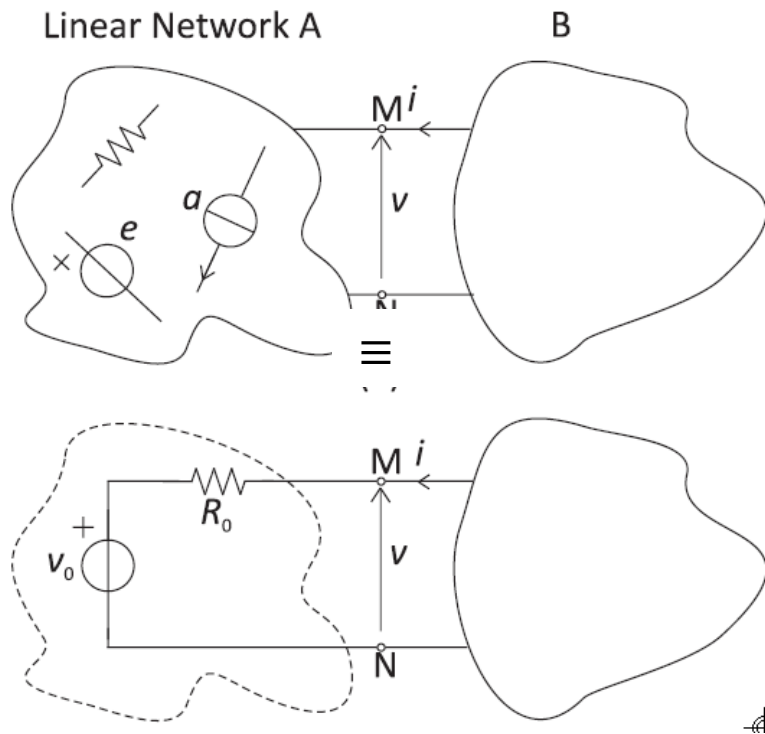
$$v_2 = v_2' + v_2'' = \frac{R_2}{R_1 + R_2} v_0 - \frac{R_2 R_1}{R_1 + R_2} i_0$$



# Concetti di Base

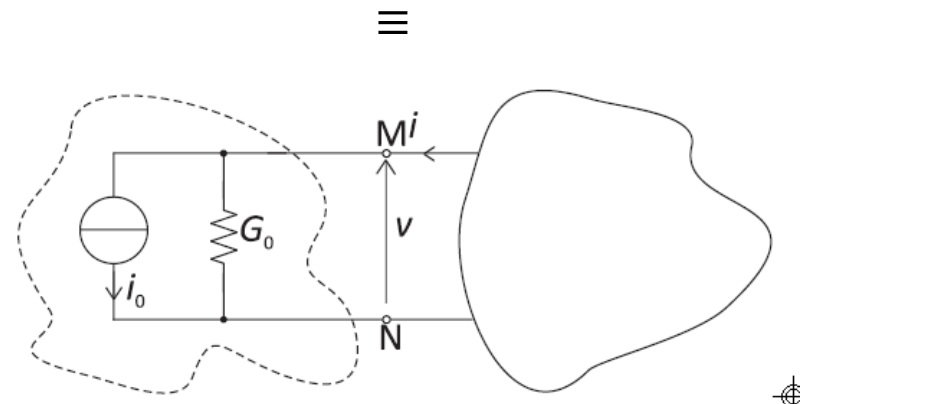
- Bipoli equivalenti di Thévenin e Norton (conseguenza del principio di sovrapposizione degli effetti)

- Una bipolo elettrico **lineare** (cioè formato dalla interconnessione di componenti lineari) può essere sostituito da un bipolo equivalente di Thevenin o Norton, senza alterare il comportamento del resto della rete



**Circuito equivalente di Thévenin**

$v_0$ : tensione a vuoto  
 $R_0$ : resistenza equivalente

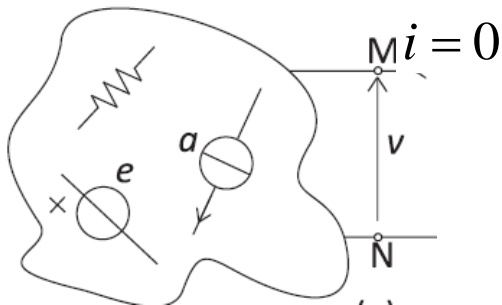
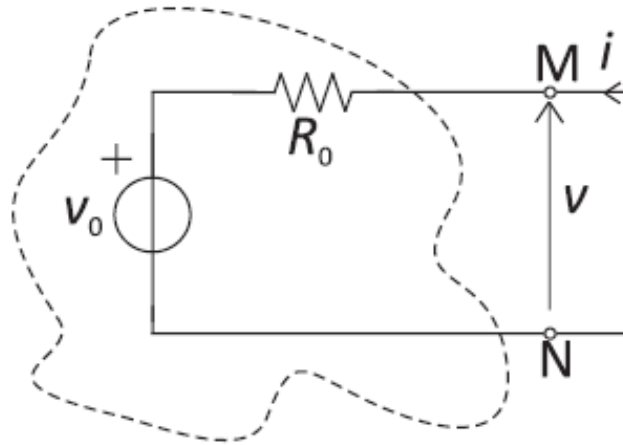


**Circuito equivalente di Norton**

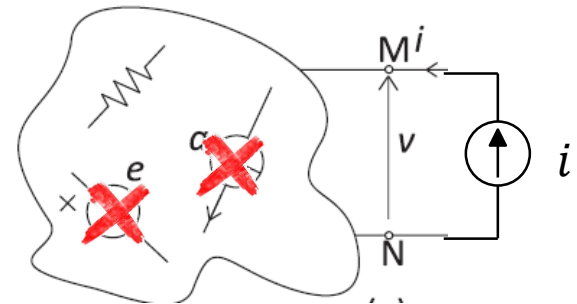
$i_0$ : corrente di corto circuito  
 $G_0 = 1/R_0$ : conduttanza equivalente

# Bipoli di Thévenin

- Calcolo di  $v_0$  e  $R_0$



$$v_0 = v_{CA} = v \Big|_{i=0}$$



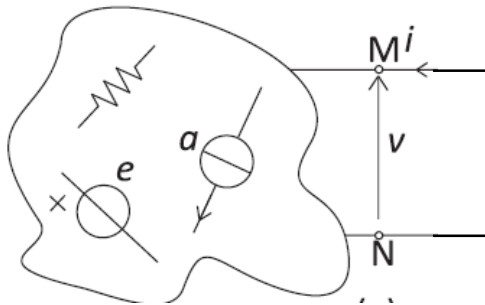
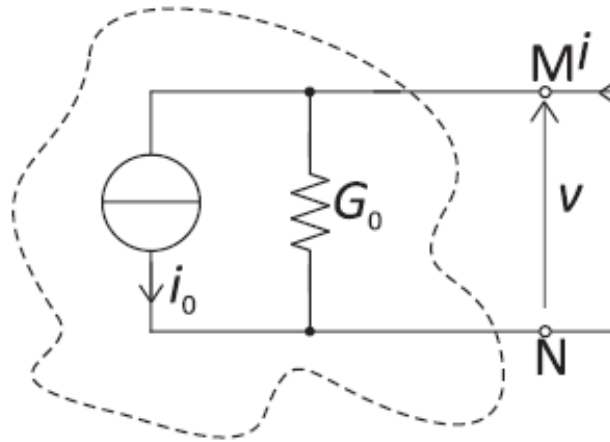
$$R_0 = \frac{v}{i} \Big|_{e_k=0, a_k=0}$$





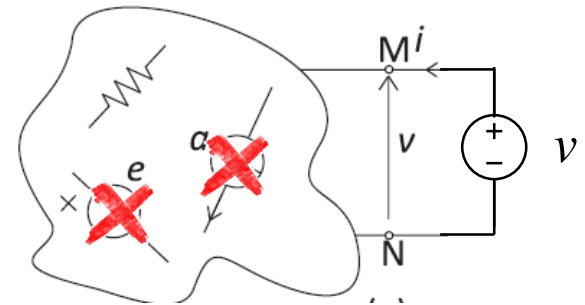
# Bipoli di Norton

- Calcolo di  $i_0$  e  $G_0$



$$v = 0$$

$$i_0 = i_{CC} = i|_{v=0}$$



$$G_0 = \frac{i}{v} \Big|_{e_k=0, a_k=0}$$



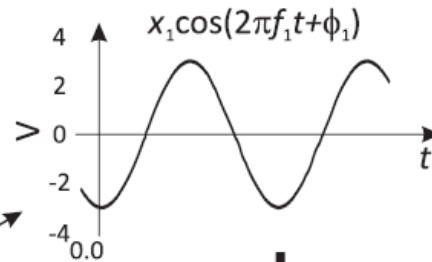
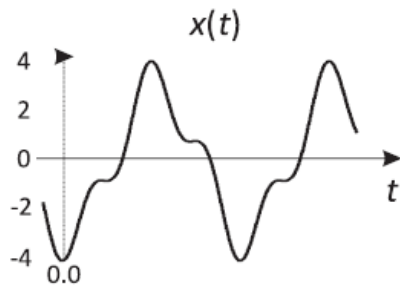
# Concetti di Base

- Analisi di reti dinamiche nel dominio della frequenza
  - Impedenza, ammettenza
  - Funzioni di trasferimento
  - Diagrammi di Bode

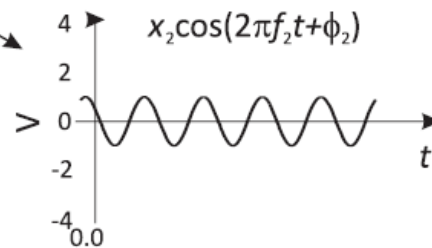


# Segnale: Analisi nel dominio della frequenza

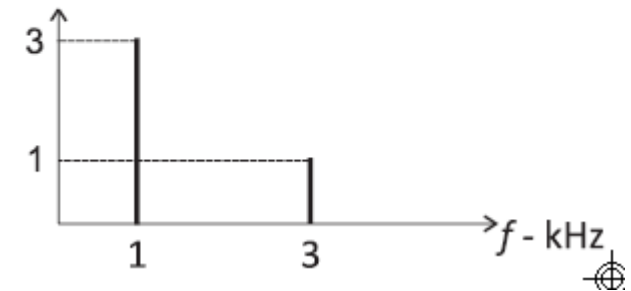
Segnale Periodico:



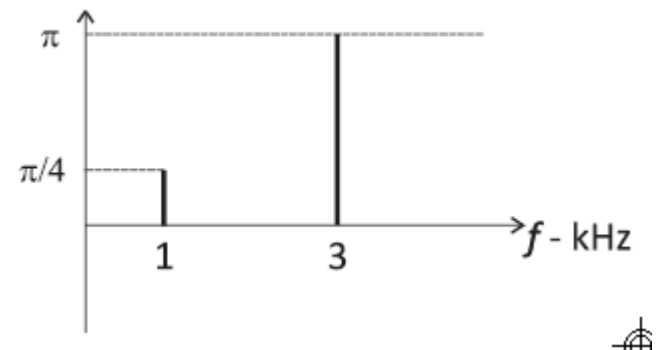
+



$|X(f)|$  - V Spettro di Ampiezza



$\phi(f)$  - rad Spettro di Fase



serie di Fourier

$$x(t) = X_0 + \sum_{n=1}^{\infty} X_n \cos(2\pi n f_0 t + \varphi_n)$$

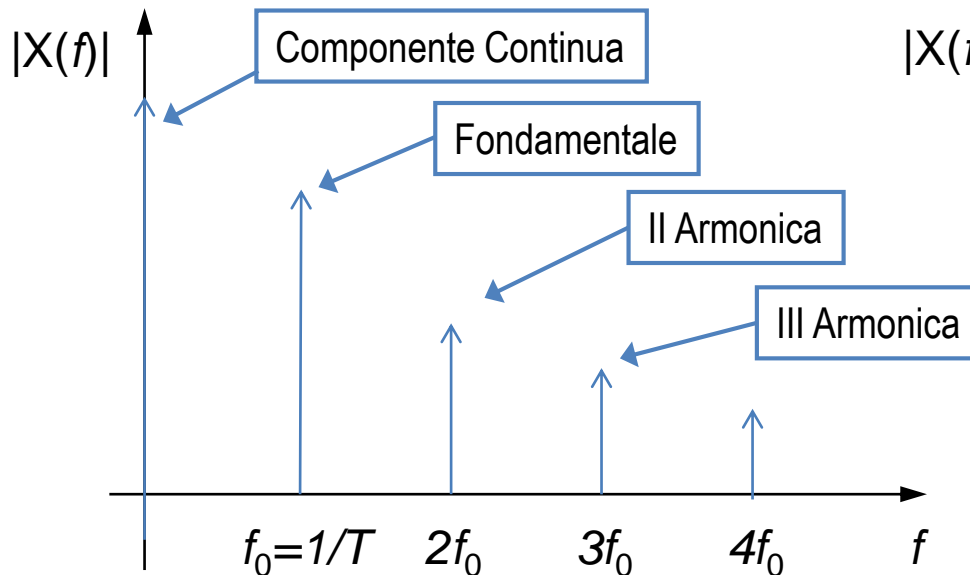


POLITECNICO  
DI TORINO

DET  
Department of Electronics and Telecommunications

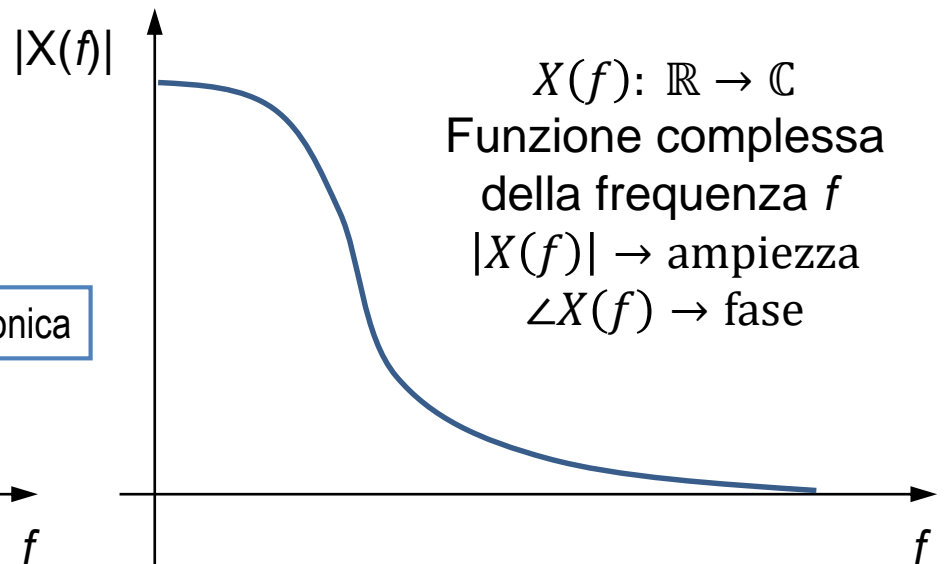
# Segnale: Analisi nel dominio della frequenza

- Un generico segnale può essere scomposto nella somma di (infinite) sinusoidi con diversa *frequenza*, *ampiezza* e *fase*.



**Segnale Periodico** (periodo  $T=1/f_0$ ):  
solo componenti a frequenza  $n/T$ ,  $n$  intero  
Spettro a righe, Serie di Fourier

$$x(t) = X_0 + \sum_{n=1}^{\infty} X_n \cos(2\pi n f_0 t + \varphi_n)$$



**Segnale non Periodico:**  
Spettro continuo  
Antitrasformata di Fourier

$$x(t) = \int_{-\infty}^{+\infty} X(f) e^{j2\pi f t} df.$$



# Analisi nel dominio della frequenza: perché ?

- La risposta di un sistema **lineare tempo-invariante** (LTI) ad un ingresso sinusoidale a frequenza  $f_0$  è ancora una sinusoide a frequenza  $f_0$ .
  - Questo non è vero in generale per ingressi non-sinusoidali
- Nel caso più generale, in un sistema LTI con ingresso sinusoidale a frequenza  $f_0$  :
  - l'ampiezza della sinusoide in uscita è pari a quella della sinusoide in ingresso, moltiplicata per un fattore  $\alpha$  che dipende da  $f_0$ .
  - l'uscita presenta uno sfasamento  $\Delta\varphi$  che dipende da  $f_0$ .



$$x(t) = X_0 \cos(2\pi f_0 t + \varphi_x)$$

$$y(t) = \alpha(f_0) X_0 \cos(2\pi f_0 t + \varphi_x + \Delta\varphi(f_0))$$



# Analisi nel dominio della frequenza: perché ?

- Se rappresentiamo la sinusoide  $X_0 \cos(2\pi f_0 t + \varphi_x)$  con un **fasore**, cioè un numero complesso  $X = X_0 e^{j\varphi_x} \in \mathbb{C}$ 
  - dove  $|X| = X_0$ , pari all'ampiezza della sinusoide
  - e dove  $\angle X = \varphi_x$ , pari alla fase della sinusoide,
- il numero complesso  $Y = Y_0 e^{j\varphi_Y}$  che rappresenta l'uscita può essere espresso come  $H(f_0)X$ , dove  $H(f_0) = \alpha(f_0)e^{j\Delta\varphi(f_0)}$  descrive come il sistema opera a frequenza  $f_0$ .



$$x(t) = X_0 \cos(2\pi f_0 t + \varphi_x)$$

$$X = X_0 e^{j\varphi_x}$$

$$y(t) = \alpha(f_0)X_0 \cos(2\pi f_0 t + \varphi_x + \varphi(f_0))$$

$$Y = \alpha(f_0)X_0 e^{j\varphi_x + \Delta\varphi(f_0)} = H(f_0)X$$

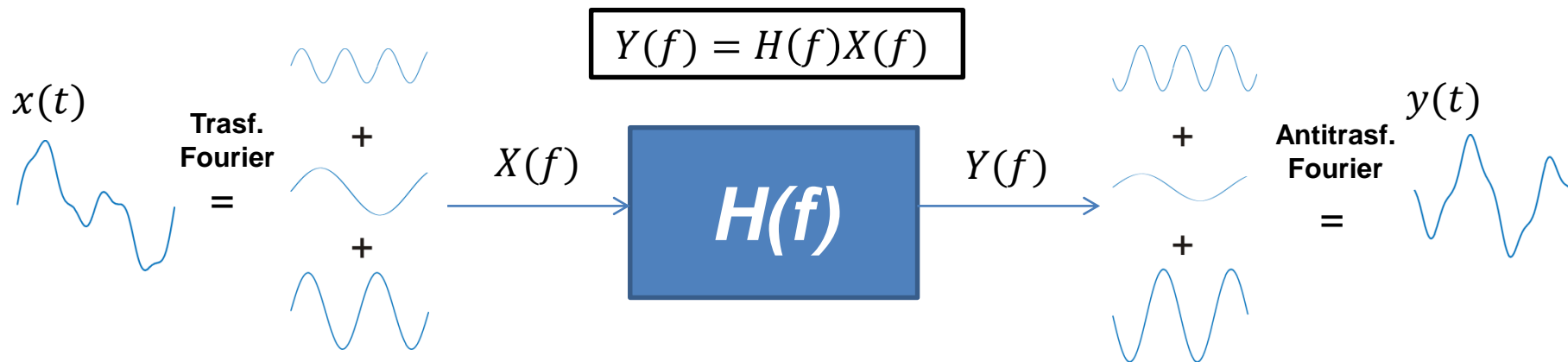


# Analisi nel dominio della frequenza: perché ?

- Generalizzando il numero complesso  $H(f_0)$  per una generica frequenza  $f$  del segnale in ingresso, la funzione  $H(f): \mathbb{R} \rightarrow \mathbb{C}$ , detta **funzione di trasferimento (f.d.t.)**, permette di ottenere la risposta del sistema a qualsiasi ingresso *sinusoidale*

$$Y = H(f)X$$

- Con l'analisi di Fourier si può esprimere **qualsiasi** ingresso nel dominio della frequenza, cioè come somma di sinusoidi. Per linearità, l'uscita è data applicando la f.d.t. frequenza per frequenza e sovrapponendo gli effetti.
- L'uscita nel dominio della frequenza è data dal prodotto dell'ingresso nel dominio della frequenza per la funzione di trasferimento.



# Analisi nel dominio della frequenza: perché ?

- L'analisi nel dominio della frequenza semplifica estremamente l'analisi dei sistemi dinamici LTI perché trasforma gli operatori integro-differenziali in operatori algebrici

$$\frac{d}{dt} \rightarrow j\omega \qquad \int_0^t \cdot dt' \rightarrow j\omega$$

- Strumenti matematici

**Trasformata di Fourier:**

$$X_F(f) = \mathcal{F}\{x(t)\} = \int_{-\infty}^{+\infty} x(t) e^{j2\pi f t} dt$$

Funzione complessa della variabile reale 'frequenza'  $f$ , (o  $\omega = 2\pi f$ , 'frequenza angolare')

Considera segnali da  $-\infty$  a  $+\infty$  (tipicamente periodici), usata per studiare i sistemi LTI *a regime*

**Trasformata di Laplace:**

$$X_L(s) = \mathcal{L}\{x(t)\} = \int_0^{+\infty} x(t) e^{st} dt$$

Funzione complessa della variabile complessa  $s = \sigma + j\omega$  (*pulsazione complessa*)

Se interessa solo l'analisi *a regime* (sarà sempre così in questo corso) trasformate di Fourier e di Laplace si equivalgono e vale la relazione

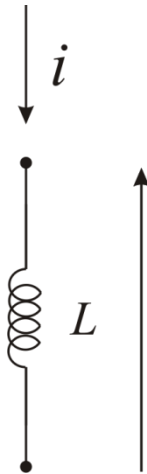
$$X_F(f) = \mathcal{F}\{x(t)\} \Big|_f = \mathcal{L}\{x(t)\} \Big|_{s=j\omega=j2\pi f} = X_L(j\omega) = X_L(j2\pi f)$$





# Circuiti lineari dinamici nel dominio della frequenza

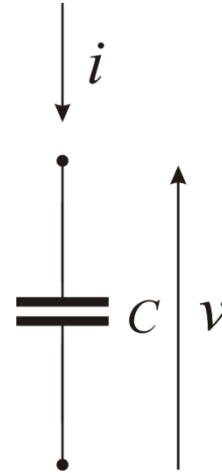
- L'analisi nel dominio della frequenza si applica in particolare **a circuiti lineari con elementi dinamici** (induttori, condensatori)



Induttore  
ideale

$$v = L \frac{di}{dt}$$

$$V(s) = sLI(s) = Z(s)I(s)$$



Condensatore  
ideale

$$i = C \frac{dv}{dt}$$

$$I(s) = sCV(s) = Y(s)V(s) \\ = V(s)/Z(s)$$

Impedenza ed Ammettenza

$$Z = sL \quad Z = 1/sC \\ Y = 1/sL \quad Y = sC$$

Equazioni costitutive  
nel dominio della frequenza

$$V = ZI \\ I = YV$$

- Utilizzando le relazioni costitutive nel dominio della frequenza i circuiti dinamici si analizzano con i metodi visti per quelli adinamici (LKV, LKI, partitori, ecc...)
- Si possono ricavare le *funzioni di trasferimento* tra sorgenti ed uscite



POLITECNICO  
DI TORINO

DET  
Department of Electronics and Telecommunications

# Esempio:

-determinare l'espressione di  $H(s) = \frac{V_{out}(s)}{V_{in}(s)}$

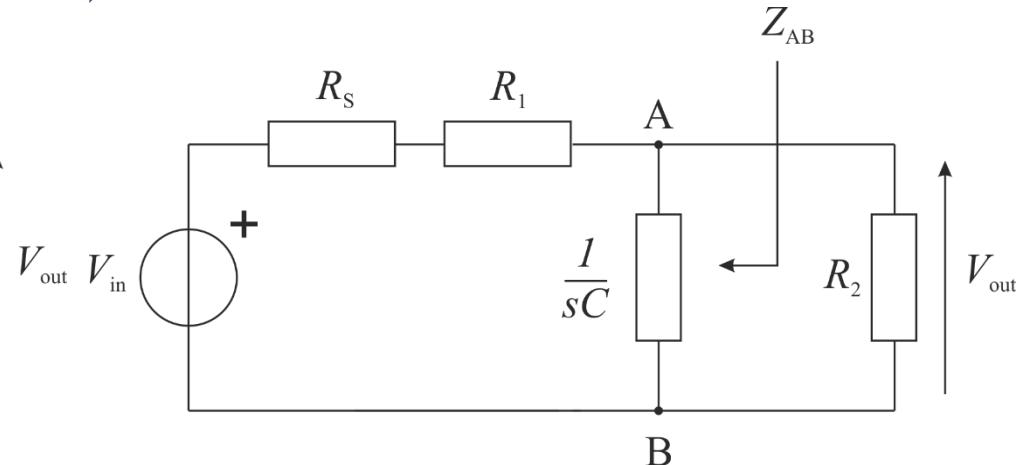
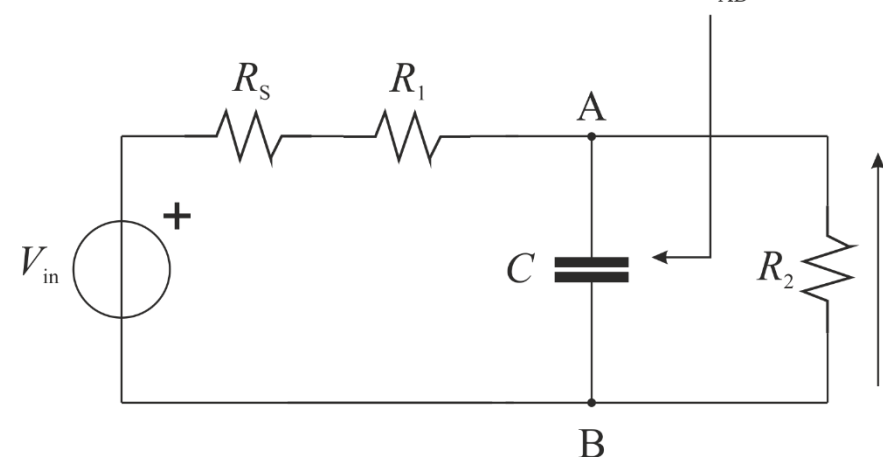
Dominio del tempo

$Z_{AB}$



Dominio della frequenza

$Z_{AB}$



$$H(s) = \frac{\frac{1}{sC} \parallel R_2}{R_1 + R_S + \frac{1}{sC} \parallel R_2} = \frac{\frac{R_2}{1 + sCR_2}}{R_1 + R_S + \frac{R_2}{1 + sCR_2}} = \frac{R_2}{R_1 + R_2 + R_S + sCR_2(R_1 + R_S)}$$

$$H(s) = \frac{V_{out}(s)}{V_{in}(s)} = \frac{R_2}{R_1 + R_2 + R_S} \frac{1}{1 + sC[R_2 \parallel (R_1 + R_S)]}$$



POLITECNICO  
DI TORINO

DET  
Department of Electronics and Telecommunications

# Diagrammi di Bode

- E' utile visualizzare graficamente l'andamento di una funzione di trasferimento.
- Consideriamo  $H(j2\pi f) = H(j\omega) = H(s)|_{s=j\omega}$  (Trasf. di Fourier)
- Le f.d.t. sono funzioni *a valori complessi*, occorre rappresentarne **modulo** e **fase** in funzione della *variabile reale* frequenza  $f$  (o pulsazione  $\omega$ ).
- Il **modulo** è rappresentato in unità logaritmiche (decibel, dB) per poterne apprezzare variazioni di ordini di grandezza sulla stessa scala.
- La **fase** è espressa in gradi o radianti.
- Per la **frequenza** si usa una scala logaritmica (interessa studiare la f.d.t. per frequenze che variano di diversi ordini di grandezza).
- Le rappresentazioni grafiche del modulo e della fase di una funzione di trasferimento descritte sopra prendono il nome di ***diagrammi di Bode***.



# Diagrammi di Bode

- Esempio:

$$H(s) = k \frac{1}{1 - s/s_p}$$

$$k = 0.5$$
$$s_p = -40.000 \cdot 2\pi \text{ rad/s}$$

Diagramma  
del modulo

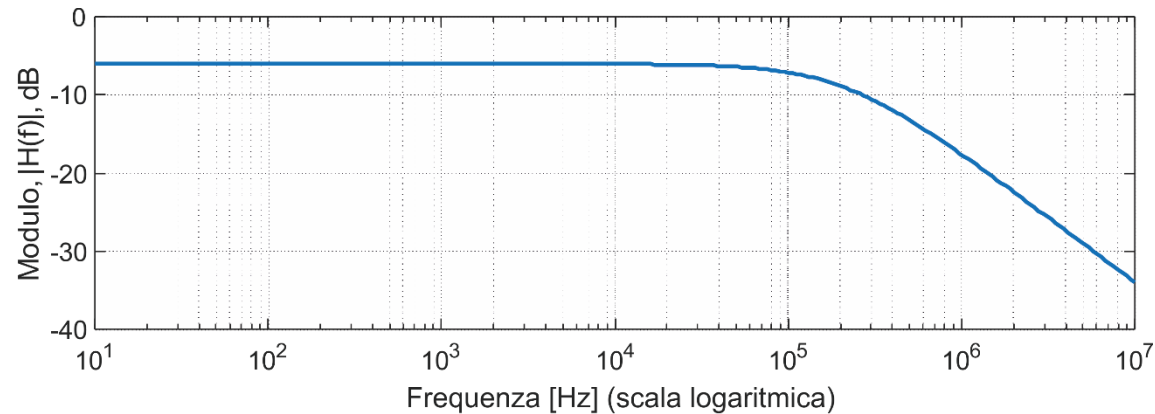
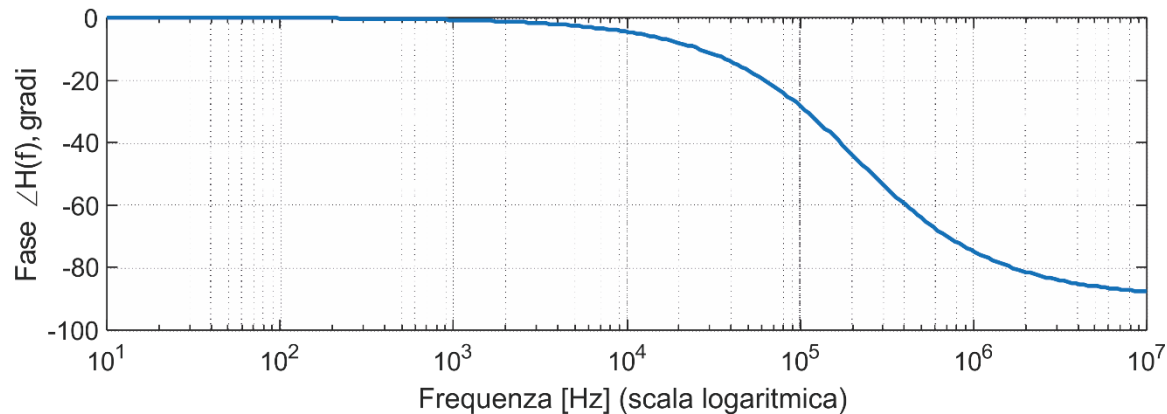


Diagramma  
della fase



E' importante saper tracciare a mano e con buona approssimazione i diagrammi di Bode di modulo e fase. Per farlo, si utilizza l'approssimazione asintotica 'a spezzate' illustrata nelle prossime slide



# Diagrammi di Bode

- In generale, per un circuito lineare a parametri concentrati, le funzioni di trasferimento sono razionali fratte (rapporto di polinomi in  $s$ ) e possono essere poste nella forma:

$$H(s) = k s^m \frac{\prod_i \left(1 - \frac{s}{s_{z,i}}\right)}{\prod_i \left(1 - \frac{s}{s_{p,i}}\right)}$$

$s_{z,i}$ : **zeri**: radici complesse del polinomio a numeratore

$s_{p,i}$ : **poli**: radici complesse del polinomio a denominatore

I polinomi a num. e den. sono a coefficienti reali  $\rightarrow$  quindi i poli e gli zeri possono essere o reali o a coppie complesse coniugate. Nel seguito consideriamo solo il caso di poli e zeri **reali** (v. testi di riferimento per poli complessi).

- I diagrammi di Bode riportano il modulo (in decibel) e la fase (in gradi o radianti) della funzione di trasferimento valutata per  $s = j\omega$  in funzione della frequenza (su scala logaritmica)

Modulo (in dB)

$$20 \log_{10} |H(j\omega)|$$

Fase

$$\angle H(j\omega) = \arctan \frac{\text{Im}\{H(j\omega)\}}{\text{Re}\{H(j\omega)\}}$$



# Diagrammi di Bode: Modulo (I)

- Modulo:

$$20 \log_{10} |H(j\omega)| =$$

$$= 20 \log_{10} |k| \omega^m \left| \frac{\prod_i \left(1 - \frac{j\omega}{s_{z,i}}\right)}{\prod_i \left(1 - \frac{j\omega}{s_{p,i}}\right)} \right|$$

$$= 20 \log_{10} |k| + 20 m \log_{10} \omega + \sum_i 20 \log_{10} \left| 1 - \frac{j\omega}{s_{z,i}} \right| - \sum_i 20 \log_{10} \left| 1 - \frac{j\omega}{s_{p,i}} \right|$$

↓  
costante

↓  
contributo di  
zeri/poli nell'origine

↓  
contributi degli zeri  
non nell'origine

↓  
contributi dei poli  
non nell'origine



# Diagrammi di Bode: Modulo (II)

- Modulo:

Se la f.d.t. è **adimensionata** (è cioè un rapporto di grandezze omogenee, ad es. amplificazione di tensione, corrente,...) il modulo si esprime direttamente in decibel (dB)

$$|H(j\omega)|_{\text{dB}} = 20 \log_{10} |H(j\omega)|$$

Se la f.d.t. è **dimensionata** (è ad esempio un'impedenza, misurata in  $\Omega$ , un'ammettenza, misurata in S,...), come unità logaritmica si usano i decibel referiti all'unità di misura

	Unità Naturale	In unità logaritmiche...	Unità Logaritmica
Impedenza $ Z(j\omega) $	$\Omega$	$20 \log_{10} \frac{ Z(j\omega) }{1\Omega}$	dB $\Omega$
Ammettenza $ Y(j\omega) $	S	$20 \log_{10} \frac{ Y(j\omega) }{1\text{S}}$	dB S



# Diagrammi di Bode: Modulo (III)

- Modulo:

Contributo della costante moltiplicativa:

$$20 \log_{10} k \text{ (costante in frequenza)}$$

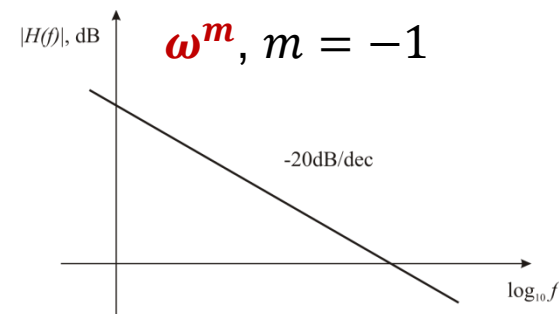
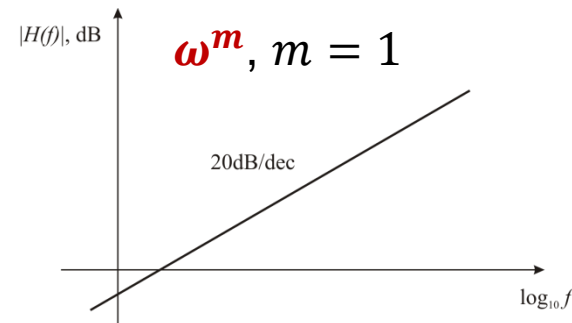
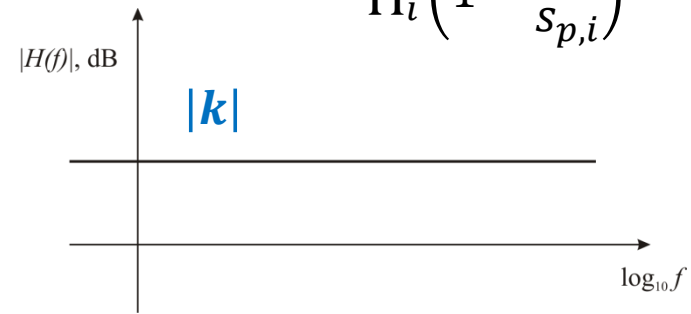
Contributo di uno zero semplice nell'origine ( $s^m$  con  $m = 1$ ):

$$20 \log_{10} \frac{f}{1\text{Hz}}$$

Contributo di un polo semplice nell'origine ( $s^m$  con  $m = -1$ ):

$$-20 \log_{10} \frac{f}{1\text{Hz}}$$

$$H(s) = k s^m \frac{\prod_i \left(1 - \frac{s}{s_{z,i}}\right)}{\prod_i \left(1 - \frac{s}{s_{p,i}}\right)}$$





# Diagrammi di Bode: Modulo (IV)

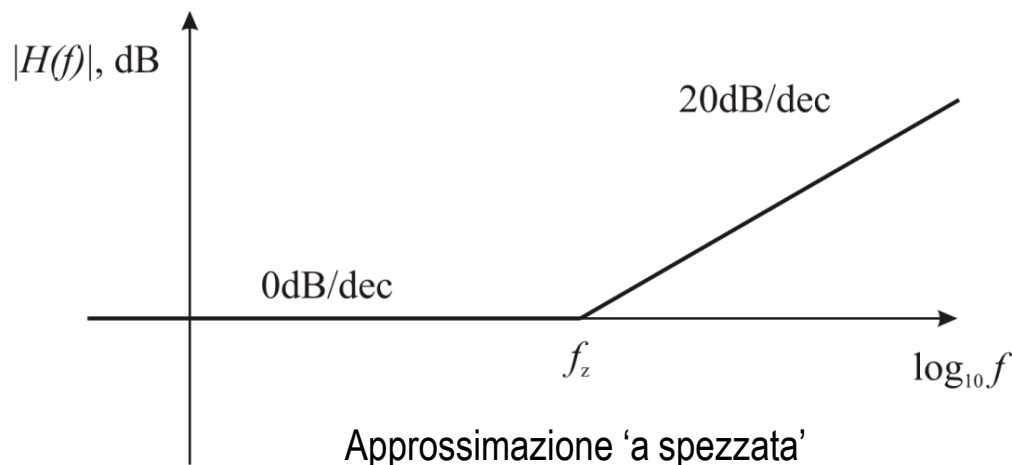
- Modulo:

Contributo di uno **zero reale**  $f_{z,i} \neq 0$

$$H(s) = k s^m \frac{\prod_i \left(1 - \frac{s}{s_{z,i}}\right)}{\prod_i \left(1 - \frac{s}{s_{p,i}}\right)}$$

$$\omega = 2\pi f \quad f_{z,i} = \frac{|s_{z,i}|}{2\pi}$$

$$20 \log_{10} \left| 1 - \frac{j\omega}{s_{z,i}} \right| = 20 \log_{10} \sqrt{1 + \frac{f^2}{f_{z,i}^2}} = \begin{cases} 0 \text{ dB} & f \ll |f_{z,i}| \\ 3 \text{ dB} & f = |f_{z,i}| \\ 20 \log_{10} \frac{f}{f_{z,i}} & f \gg |f_{z,i}| \end{cases}$$



# Diagrammi di Bode: Modulo (V)

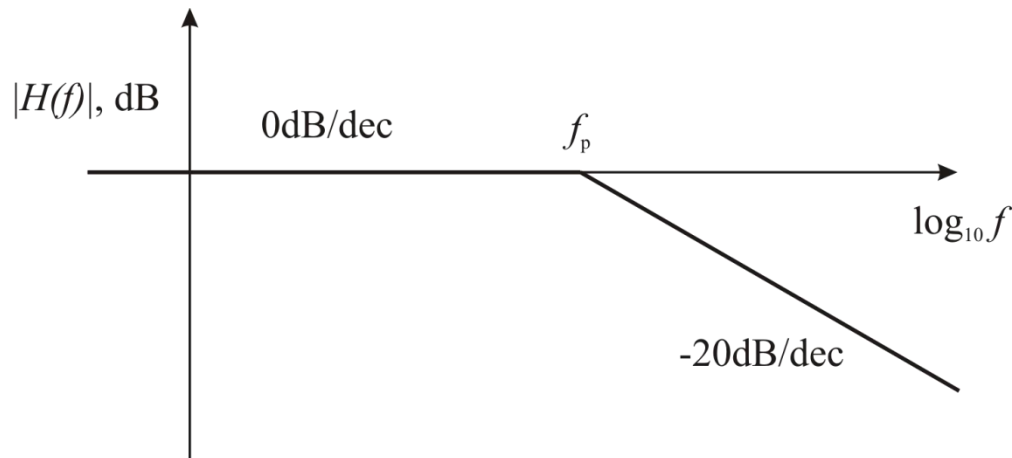
- Modulo:

Contributo di un **polo reale**  $f_{p,i} \neq 0$

$$H(s) = k s^m \frac{\prod_i \left(1 - \frac{s}{s_{z,i}}\right)}{\prod_i \left(\mathbf{1} - \frac{s}{s_{p,i}}\right)}$$

$$\omega = 2\pi f \quad f_{p,i} = \frac{|s_{p,i}|}{2\pi}$$


$$-20 \log_{10} \left| 1 - \frac{j\omega}{s_{p,i}} \right| = -20 \log_{10} \sqrt{1 + \frac{f^2}{f_{p,i}^2}} = \begin{cases} 0\text{dB} & f \ll |f_{p,i}| \\ -3\text{dB} & f = |f_{p,i}| \\ -20 \log_{10} \frac{f}{f_{p,i}} & f \gg |f_{p,i}| \end{cases}$$



# Diagrammi di Bode: Fase (I)

- Fase:

$$\begin{aligned}\angle H(j\omega) &= \angle k + m \, 90^\circ + \angle \prod_i \left(1 - \frac{j\omega}{s_{z,i}}\right) - \angle \prod_i \left(1 - \frac{j\omega}{s_{p,i}}\right) \\ &= \angle k + m \, 90^\circ + \sum_i \angle \left(1 - \frac{j\omega}{s_{z,i}}\right) - \sum_i \angle \left(1 - \frac{j\omega}{s_{p,i}}\right)\end{aligned}$$



contributi  
zeri/poli  
nell'origine

contributi  
degli zeri  
non nell'origine

contributi  
dei poli  
non nell'origine

$$\angle k = \begin{cases} 0 & \text{per } k > 0 \\ 180^\circ & \text{per } k < 0 \end{cases}$$

Può essere espressa in gradi o in radianti



# Diagrammi di Bode: Fase (II)

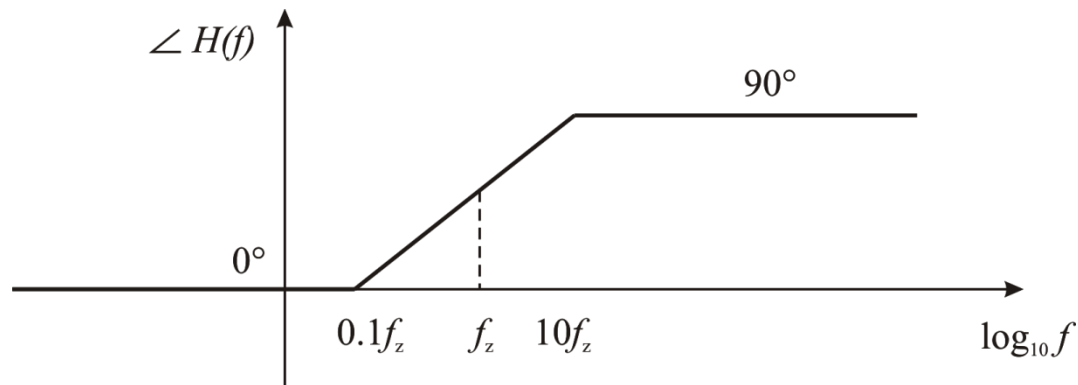
- Fase:

$$H(s) = k s^m \frac{\prod_i \left(1 - \frac{s}{s_{z,i}}\right)}{\prod_i \left(1 - \frac{s}{s_{p,i}}\right)}$$

Contributo di uno **zero reale negativo**  $s_{z,i} < 0$  in  $f_{z,i}$

$$\omega = 2\pi f \quad f_{z,i} = \frac{|s_{z,i}|}{2\pi} \quad s_{z,i} < 0 \rightarrow |s_{z,i}| = -s_{z,i}$$

$$\angle \left(1 - \frac{j\omega}{s_{z,i}}\right) = \arctan \frac{f}{f_{z,i}} = \begin{cases} 0^\circ & f \ll |f_{z,i}| \\ 45^\circ & f = |f_{z,i}| \\ 90^\circ & f \gg |f_{z,i}| \end{cases}$$



# Diagrammi di Bode: Fase (III)

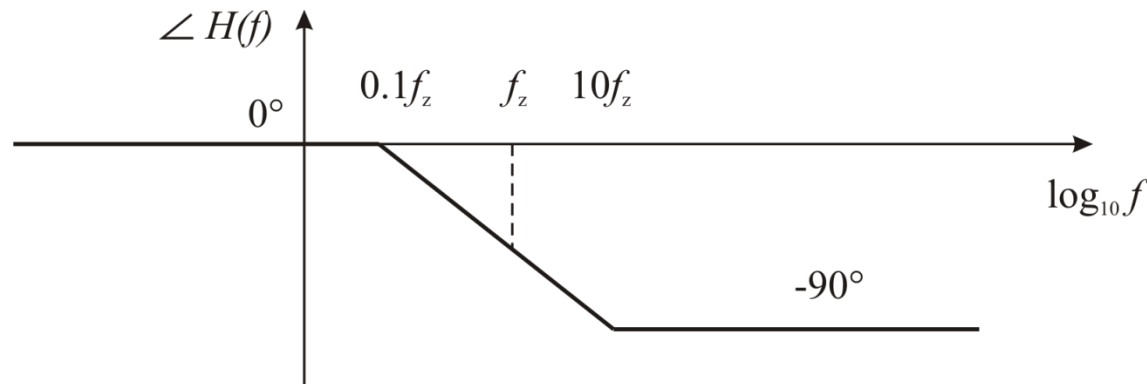
- Fase:

$$H(s) = k s^m \frac{\prod_i \left(1 - \frac{s}{s_{z,i}}\right)}{\prod_i \left(1 - \frac{s}{s_{p,i}}\right)}$$

Contributo di uno **zero reale positivo**  $s_{z,i} > 0$  in  $f_{z,i}$

$$\omega = 2\pi f \quad f_{z,i} = \frac{|s_{z,i}|}{2\pi}$$

$$\angle \left(1 - \frac{j\omega}{s_{z,i}}\right) = -\arctan \frac{f}{f_{z,i}} = \begin{cases} 0^\circ & f \ll |f_{z,i}| \\ -45^\circ & f = |f_{z,i}| \\ -90^\circ & f \gg |f_{z,i}| \end{cases}$$



# Diagrammi di Bode: Fase (IV)

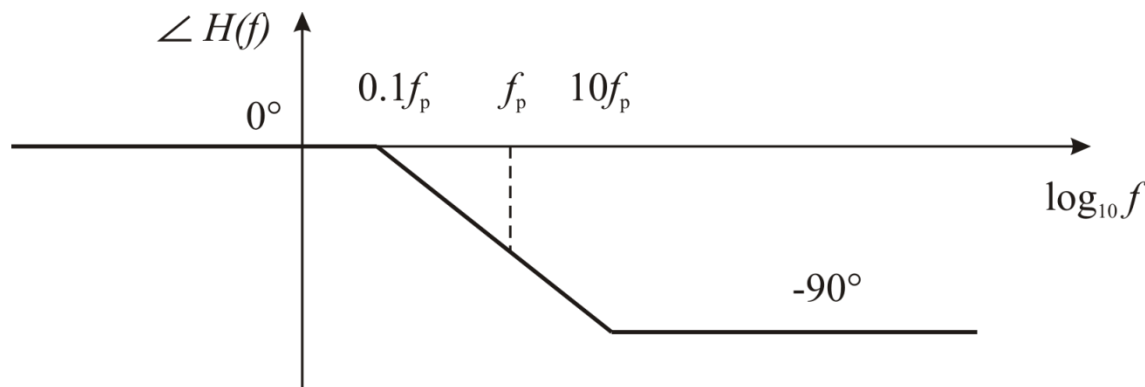
- Fase:

Contributo di uno **polo reale negativo\***  $s_{p,i} < 0$  in  $f_{p,i}$

$$H(s) = k s^m \frac{\prod_i \left(1 - \frac{s}{s_{z,i}}\right)}{\prod_i \left(1 - \frac{s}{s_{p,i}}\right)}$$

$$\omega = 2\pi f \quad f_{p,i} = \frac{|s_{p,i}|}{2\pi} \quad s_{p,i} < 0 \rightarrow |s_{p,i}| = -s_{p,i}$$

$$-\angle \left(1 - \frac{j\omega}{s_{p,i}}\right) = -\arctan \frac{f}{f_{p,i}} = \begin{cases} 0^\circ & f \ll |f_{p,i}| \\ -45^\circ & f = |f_{p,i}| \\ -90^\circ & f \gg |f_{p,i}| \end{cases}$$



\* La presenza di poli con parte reale positiva implica instabilità, pertanto si considerano solo poli con parte reale negativa



# Esercizio: analisi in frequenza

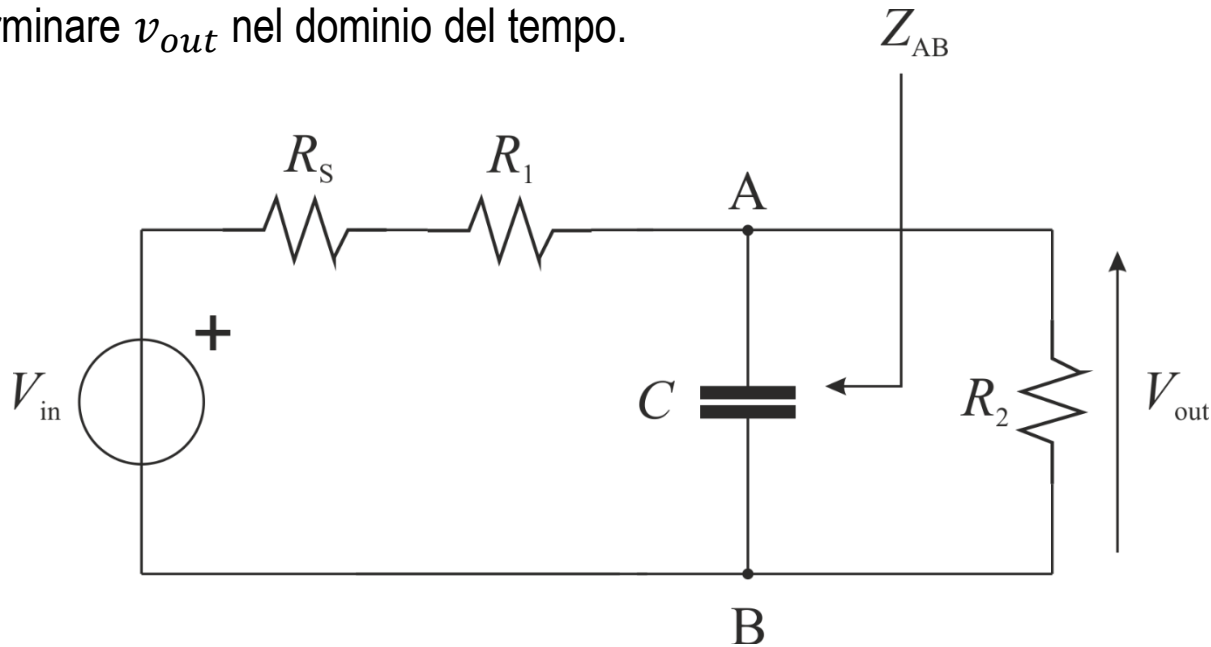
Con riferimento al circuito in figura:

- 1) determinare l'espressione di  $H(s) = \frac{V_{out}(s)}{V_{in}(s)}$  e tracciarne i diagrammi di Bode di modulo e fase.
- 2) determinare l'espressione dell'impedenza  $Z_{AB}(s)$  indicata in figura e tracciarne i diagrammi di Bode
- 3) supponendo che venga applicato un segnale in ingresso

$$v_{in}(t) = \sum_{k=0}^2 V_i \cos(2\pi k f_0 t + \phi_i),$$

con  $f_0 = 20\text{kHz}$ ,  $V_0 = 1\text{V}$ ,  $\phi_0 = 0$ ,  $V_1 = 2\text{V}$ ,  $\phi_1 = 0$ ,  $V_2 = 1\text{V}$ ,  $\phi_2 = \frac{\pi}{4}$

determinare  $v_{out}$  nel dominio del tempo.



$$R_S = 5\text{k}\Omega$$

$$R_1 = 5\text{k}\Omega$$

$$R_2 = 10\text{k}\Omega$$

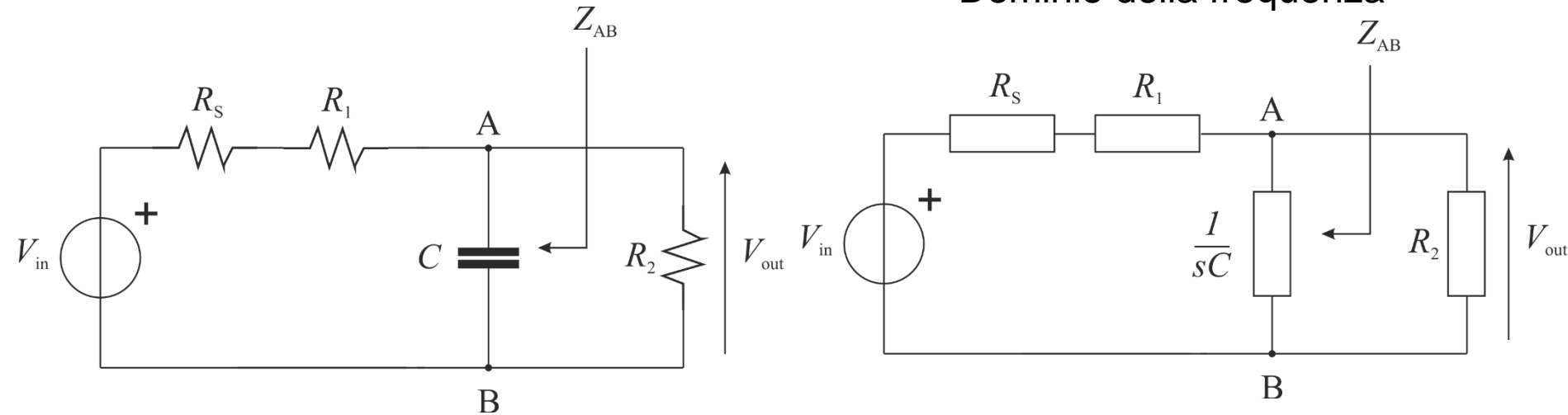
$$C = \frac{5}{2\pi} \text{ nF}$$



# Esercizio: analisi in frequenza

-determinare l'espressione di  $H(s) = \frac{V_{out}(s)}{V_{in}(s)}$  e tracciarne i diagrammi di Bode di modulo e fase.

Dominio della frequenza



$$H(s) = \frac{\frac{1}{sC} \parallel R_2}{R_1 + R_s + \frac{1}{sC} \parallel R_2} = \frac{\frac{R_2}{1 + sCR_2}}{R_1 + R_s + \frac{R_2}{1 + sCR_2}} = \frac{R_2}{R_1 + R_2 + R_s + sCR_2(R_1 + R_s)}$$

$$H(s) = \frac{R_2}{R_1 + R_2 + R_s} \frac{1}{1 + sC[R_2 \parallel (R_1 + R_s)]}$$





# Risposta in Frequenza: Esercizio

$$H(s) = \frac{R_2}{R_1 + R_2 + R_S} \frac{1}{1 + sC[R_2 \parallel (R_1 + R_S)]}$$

$$R_S = 5\text{k}\Omega, R_1 = 5\text{k}\Omega \\ R_2 = 10\text{k}\Omega, C = \frac{5}{2\pi} \text{ nF}$$

1) Si identificano gli elementi dell'espressione generale, ordinando le singolarità (poli/zeri) in ordine di frequenza di taglio crescente

$$H(s) = k s^m \frac{\prod_i \left(1 - \frac{s}{s_{z,i}}\right)}{\prod_i \left(1 - \frac{s}{s_{p,i}}\right)} \Rightarrow H(s) = k \frac{1}{1 - s/s_p}$$

(c'è solo un polo e nessuno zero)

costante moltiplicativa:  $k = \frac{R_2}{R_1 + R_2 + R_S} = \frac{1}{2} \rightarrow -6\text{dB}$

un polo reale negativo in  $s_p = -\frac{1}{C[R_2 \parallel (R_1 + R_S)]} = -\frac{2\pi \text{ rad}}{25 \mu\text{s}} \rightarrow \text{freq. di taglio } f_p = \frac{|s_p|}{2\pi} = 40\text{kHz}$

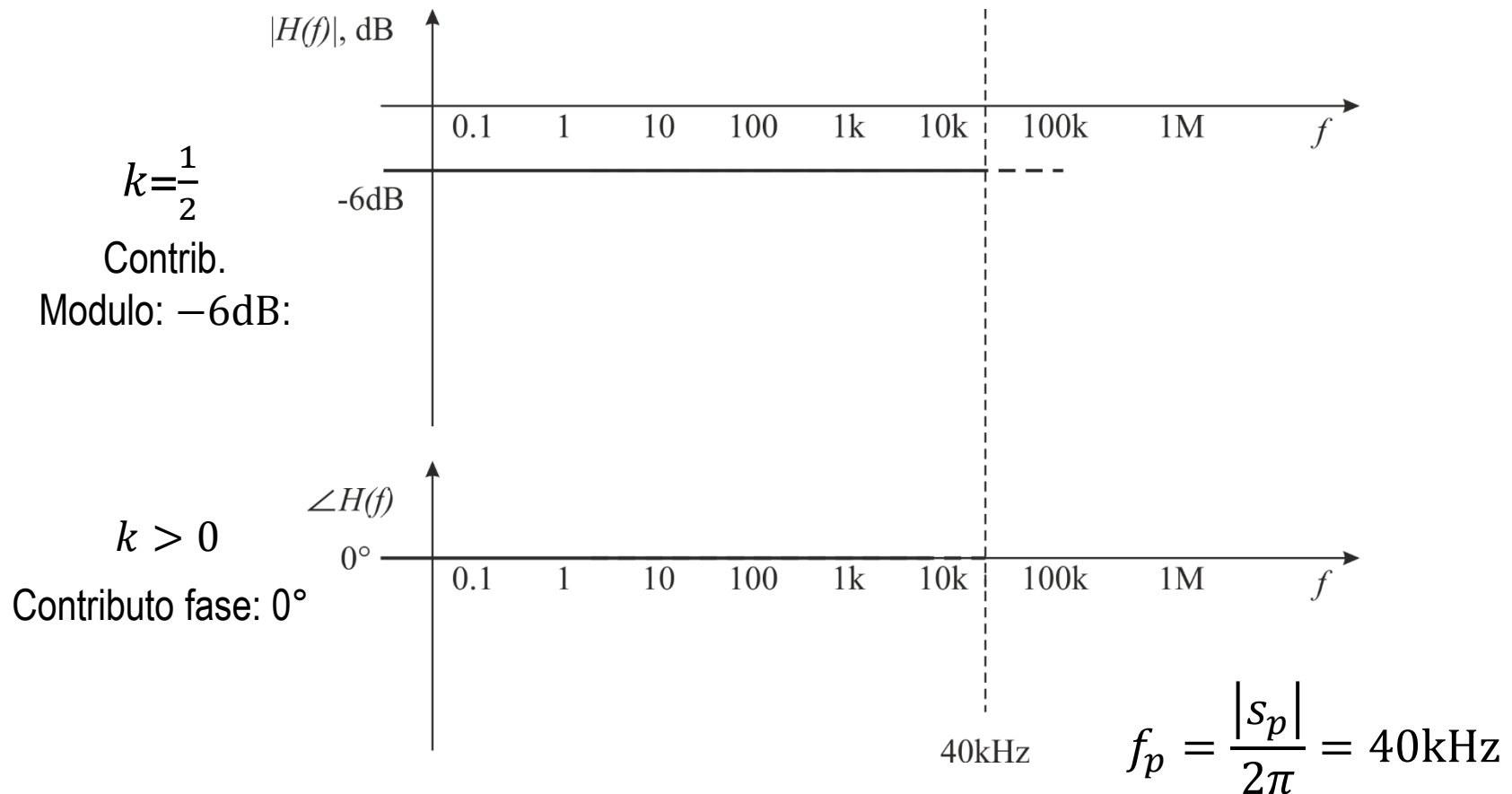
2) Si tracciano i diagrammi di Bode del modulo e della fase (non quotati sull'asse delle ordinate) per i vari contributi, partendo da quelli a frequenza più bassa e sommando via via i successivi.

3) Si quotano i diagrammi sull'asse delle ordinate valutando la f.d.t. in uno o più punti significativi



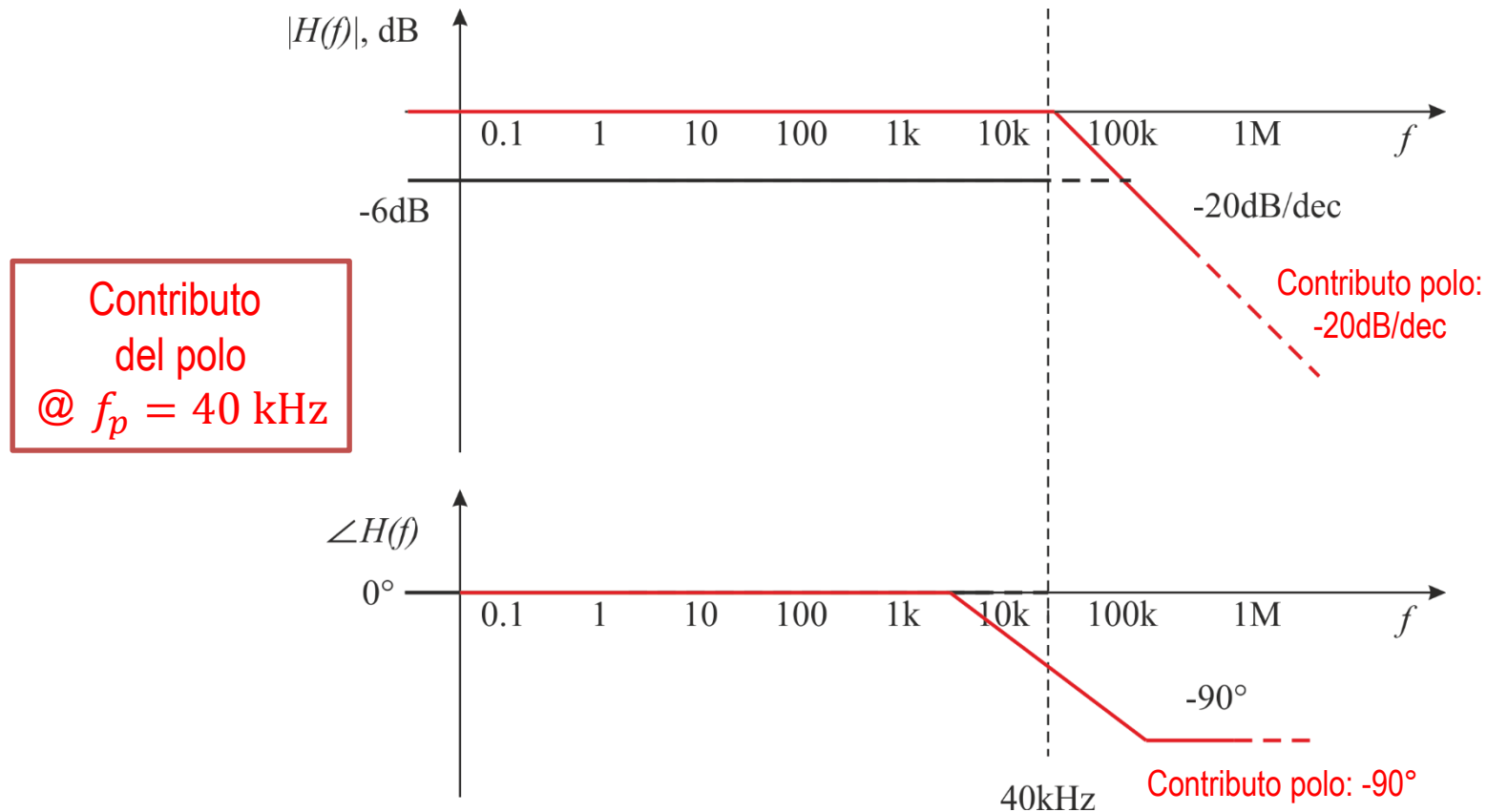
# Esercizio: analisi in frequenza

-determinare l'espressione di  $H(s) = \frac{V_{out}(s)}{V_{in}(s)}$  e tracciarne i diagrammi di Bode di modulo e fase.



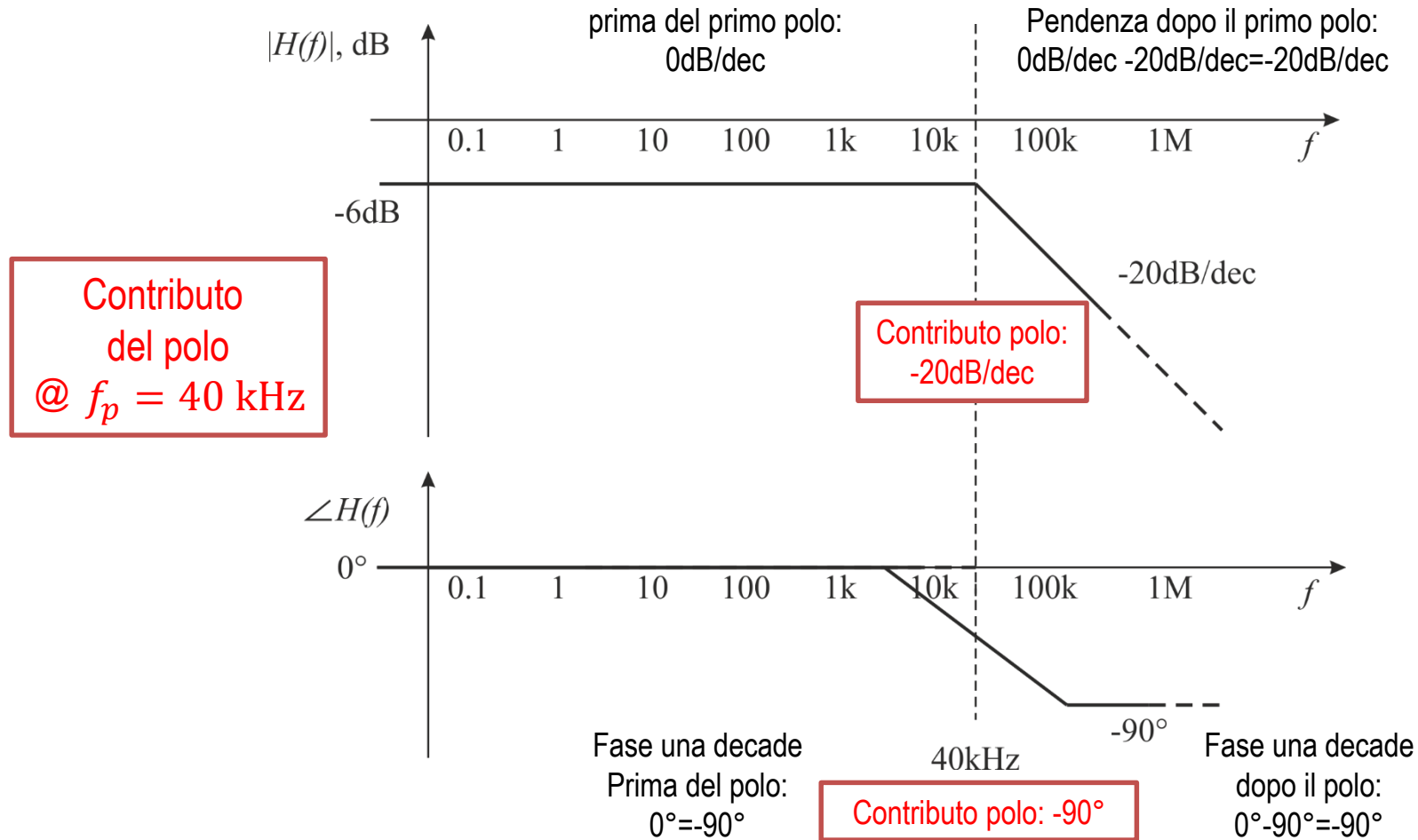
# Esercizio: analisi in frequenza

-determinare l'espressione di  $H(s) = \frac{V_{out}(s)}{V_{in}(s)}$  e tracciarne i diagrammi di Bode di modulo e fase.



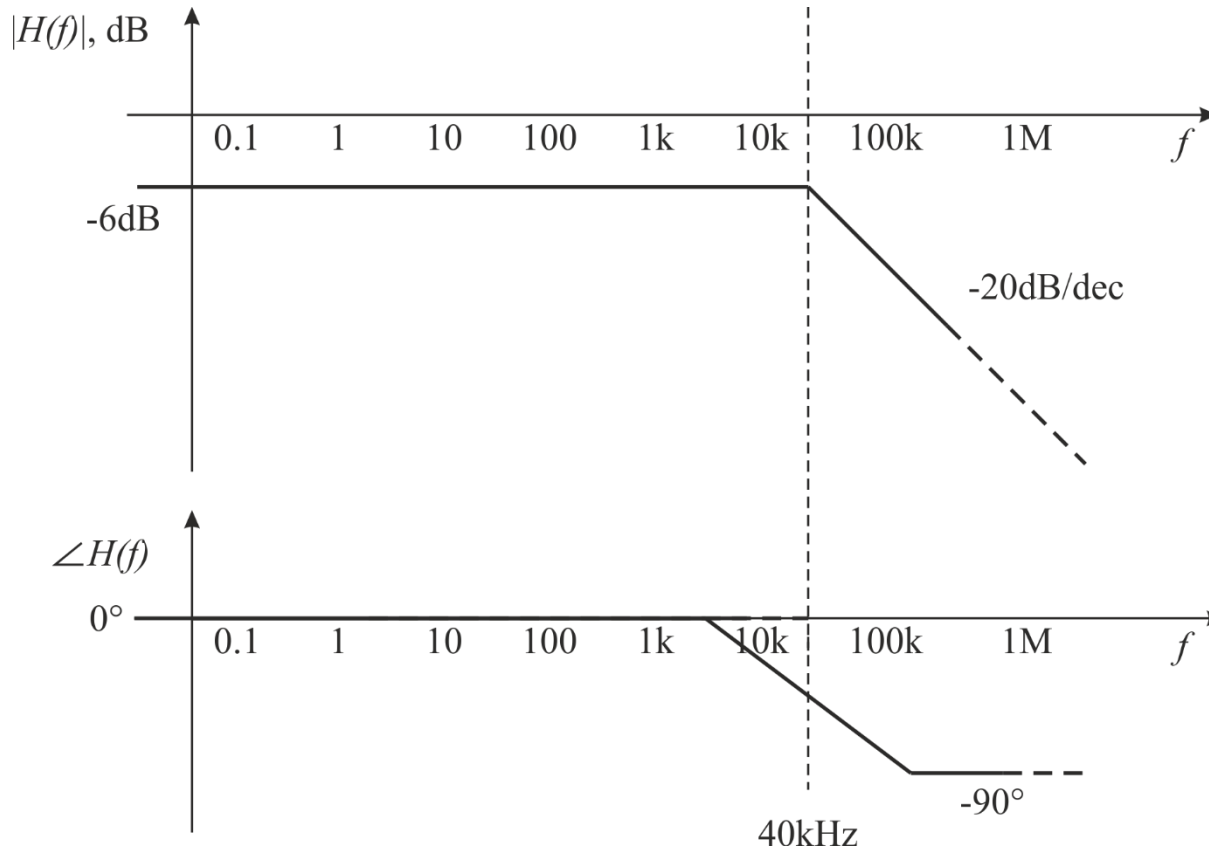
# Esercizio: analisi in frequenza

-determinare l'espressione di  $H(s) = \frac{V_{out}(s)}{V_{in}(s)}$  e tracciarne i diagrammi di Bode di modulo e fase.



# Esercizio: analisi in frequenza

-determinare l'espressione di  $H(s) = \frac{V_{out}(s)}{V_{in}(s)}$  e tracciarne i diagrammi di Bode di modulo e fase.



$$H(f) = k \frac{1}{1 + jf/f_p}$$

$$k = \frac{R_2}{R_1 + R_2 + R_S} = \frac{1}{2} \rightarrow -6\text{dB}$$

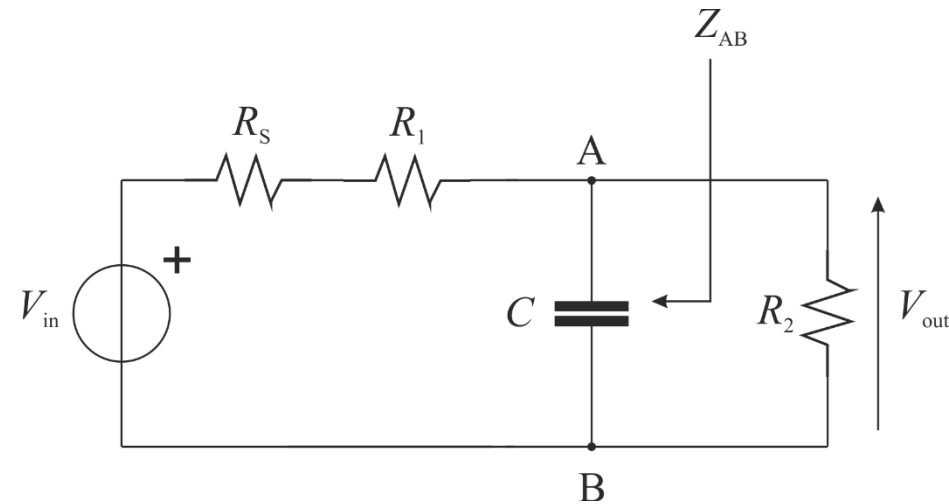
$$f_p = \frac{|s_p|}{2\pi} = 40\text{kHz}$$

(è la stessa  $H(s)$  considerata nella slide 33: lì erano riportati i diagrammi 'esatti')

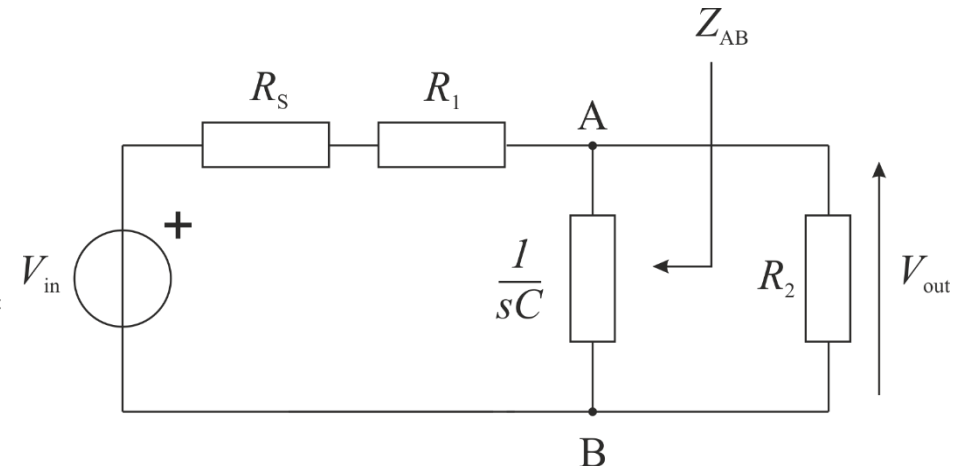


# Esercizio: analisi in frequenza

-determinare l'espressione dell'impedenza  $Z_{AB}(s)$  indicata in figura e tracciarne i diagrammi di Bode



Dominio della frequenza



$$Z_{AB}(s) = (R_1 + R_S) \parallel \frac{1}{sC}$$

$$Z_{AB}(s) = \frac{R_1 + R_S}{1 + sC(R_1 + R_S)}$$



# Esercizio: analisi in frequenza

-determinare l'espressione dell'impedenza  $Z_{AB}(s)$  indicata in figura e tracciarne i diagrammi di Bode

$$Z_{AB}(s) = \frac{R_1 + R_S}{1 + sC(R_1 + R_S)}$$

$$R_S = 5\text{k}\Omega$$

$$R_1 = 5\text{k}\Omega$$

$$R_2 = 10\text{k}\Omega$$

$$C = \frac{5}{2\pi} \text{ nF}$$

$$Z_{AB}(s) = R_0 \frac{1}{1 - s/s_p} \rightarrow Z_{AB}(f) = Z_{AB}(s) \Big|_{s=j2\pi f} = R_0 \frac{1}{1 + jf/f_p}$$

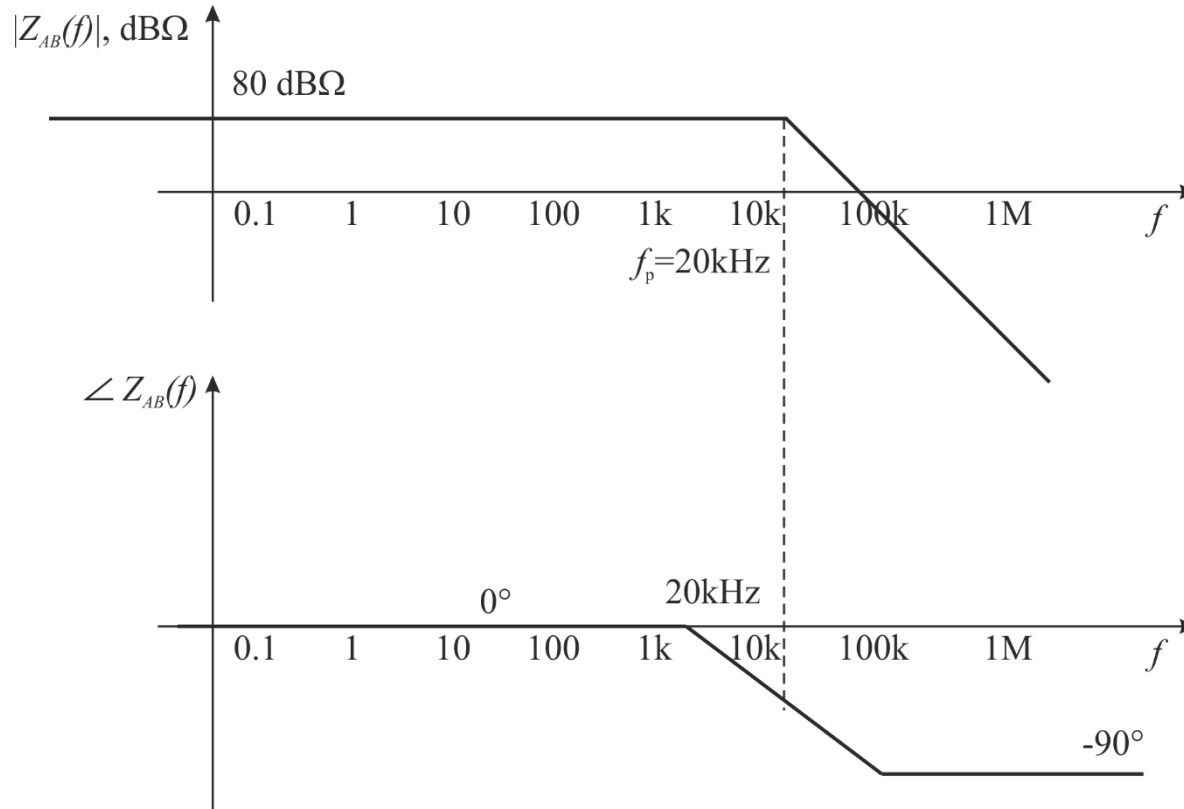
$$R_0 = R_1 + R_S = 10\text{k}\Omega \rightarrow 80\text{dB}\Omega$$

$$s_p = -\frac{1}{C(R_1 + R_S)} = -\frac{2\pi \text{ rad}}{50 \text{ }\mu\text{s}} \rightarrow f_p = \frac{|s_p|}{2\pi} = 20\text{kHz}$$



# Esercizio: analisi in frequenza

-determinare l'espressione dell'impedenza  $Z_{AB}(s)$  indicata in figura e tracciarne i diagrammi di Bode



$$Z_{AB}(f) = R_0 \frac{1}{1 + jf/f_p}$$

$$R_0 = 10 \text{ k}\Omega \rightarrow 80 \text{ dB}\Omega$$

$$f_p = \frac{|s_p|}{2\pi} = 20 \text{ kHz}$$





# Esercizio: analisi in frequenza

supponendo che venga applicato un segnale in ingresso

$$v_{in}(t) = \sum_{k=0}^2 V_i \cos(2\pi k f_0 t + \phi_i),$$

con  $f_0 = 20\text{kHz}$ ,  $V_0 = 1\text{V}$ ,  $\phi_0 = 0$ ,  $V_1 = 2\text{V}$ ,  $\phi_1 = 0$ ,  $V_2 = 1\text{V}$ ,  $\phi_2 = \frac{\pi}{4}$

determinare  $v_{out}$  nel dominio del tempo.

Data la linearità del circuito, si può valutare l'uscita per ciascuna componente sinusoidale (usando la f.d.t.  $H(f)$  valutata alle diverse frequenze), e poi sovrapporre gli effetti

$$v_{out}(t) = \sum_{k=0}^2 V_{out,i} \cos(2\pi k f_0 t + \phi_{out,i})$$

$$H(f) = H(s) \Big|_{s=j2\pi f} = k \frac{1}{1 + jf/f_p} = \frac{1}{2} \frac{1}{1 + \frac{jf}{40\text{kHz}}}$$

$$V_{out,0} = |H(0)|V_0 = 0.5\text{V}$$

$$\phi_{out,0} = \phi_0 + \angle H(0) = 0$$

$$V_{out,1} = |H(20\text{kHz})|V_1 = 0.9\text{V}$$

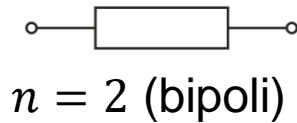
$$\phi_{out,1} = \phi_1 + \angle H(20\text{kHz}) = -26.5^\circ$$

$$V_{out,2} = |H(40\text{kHz})|V_2 = 0.35\text{V}$$

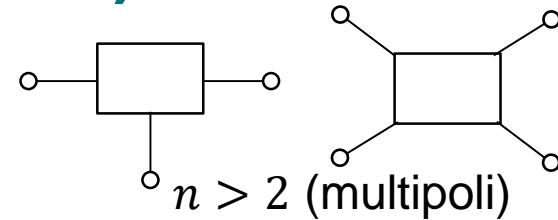
$$\phi_{out,2} = \phi_2 + \angle H(40\text{kHz}) = 45^\circ - 45^\circ = 0$$



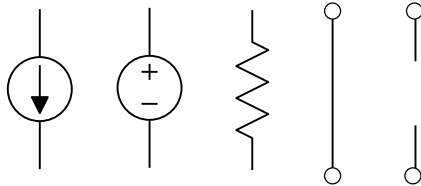
# Generalizzazioni (caso adinamico)



Numero terminali



lineare



Cosideriamo il caso di  $n$  pari ( $= 2k$ ) e in cui i morsetti sono divisibili a coppie (a formare una porta) per cui la corrente entrante in uno dei morsetti è uguale a quella uscente dall'altro:  **$k$  -porte**

**Importante il caso con  $k=2$ :  
due porte o doppio bipolo**

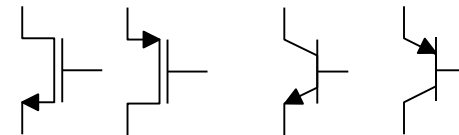
i generatori pilotati lineari introdotti sono doppi bipoli

Relazione  $v - i$

nonlineare



Diodo



Transistori MOS e BJT



POLITECNICO  
DI TORINO

DET  
Department of Electronics and Telecommunications

# Concetti base

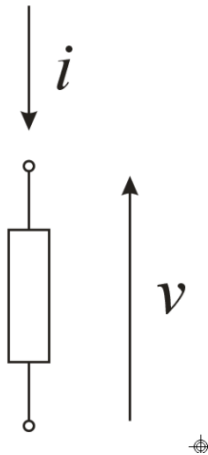
## ■ Doppi Bipoli

- Variabili indipendenti e variabili dipendenti e relazioni costitutive
- Rappresentazioni  $R, G, H, H'$
- Significato circuitale dei parametri
- Caratteristiche d'ingresso, uscita e trans-caratteristiche
- Doppi bipoli come blocchi funzionali



# Doppi Bipoli (lineari)

- Fino ad ora si sono considerati *bipoli*
  - elementi a due terminali
  - si può definire una sola tensione  $v$  ed una sola corrente  $i$
  - caratterizzati da una *relazione costitutiva* che esprime un legame tra  $v$  ed  $i$
  - difficile da vedersi come ‘blocco funzionale’



## ***relazioni costitutive***

$$\alpha v + \beta i + \gamma = 0$$

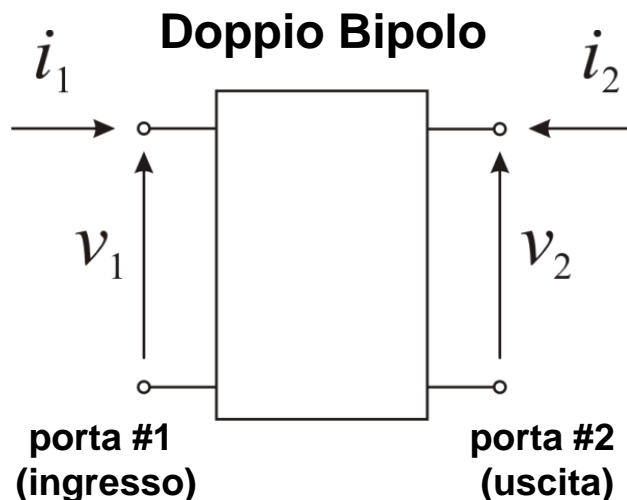
Ricavo  $i$  da  $v$  (bipolo controllato in tensione)

Ricavo  $v$  da  $i$  (bipolo controllato in corrente)



# Doppi Bipoli (lineari)

- L'approccio è generalizzabile a più terminali:
  - si possono definire due tensioni alle porte  $v_1$  e  $v_2$  e due correnti  $i_1$  e  $i_2$  indipendenti (le correnti ai due terminali della stessa porta sono assunte opposte – per definizione stessa di porta).
  - relazioni costitutive: due equazioni nelle quattro variabili  $v_1$ ,  $v_2$ ,  $i_1$  e  $i_2$ .
  - se si considera una porta come *ingresso* e l'altra come *uscita*, un doppio bipolo può essere visto come trasposizione circuitale di un blocco funzionale



$$\begin{cases} \alpha_{11}v_1 + \alpha_{12}v_2 + \beta_{11}i_1 + \beta_{12}i_2 + \gamma_1 = 0 \\ \alpha_{21}v_1 + \alpha_{22}v_2 + \beta_{21}i_1 + \beta_{22}i_2 + \gamma_2 = 0 \end{cases}$$

$$\alpha v + \beta i + \gamma = 0$$

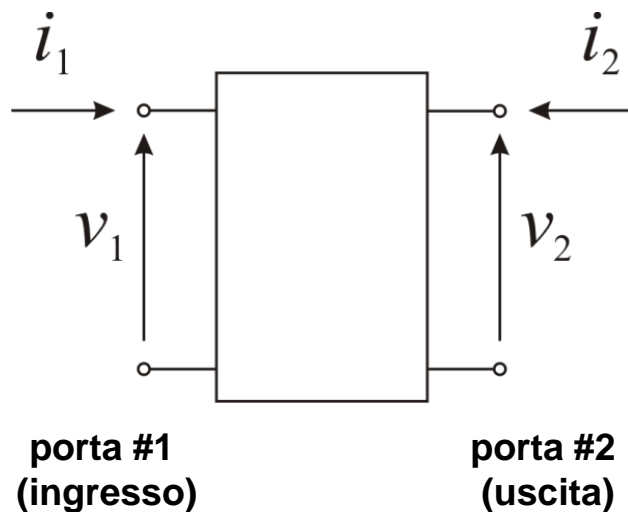
$\alpha, \beta$  2x2 matrices

$v, i, \gamma$  2-dim vectors



# Doppi Bipoli

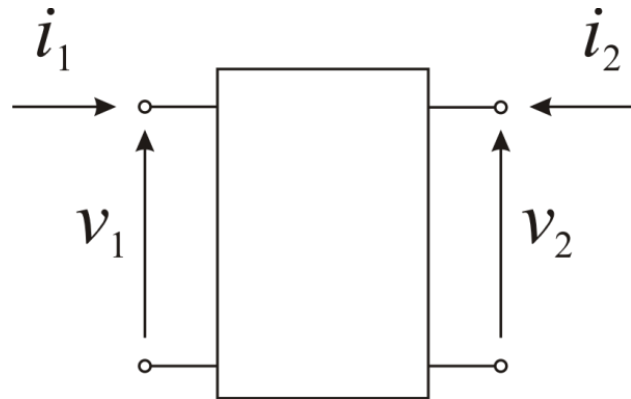
- Relazioni costitutive:
  - due tra  $v_1$ ,  $v_2$ ,  $i_1$  e  $i_2$  si considerano come *variabili indipendenti*.
    - Possono vedersi come ‘ingressi’
  - le altre due variabili sono espresse in funzione delle precedenti (*variabili dipendenti*).
    - Possono vedersi come ‘uscite’
  - sono possibili diverse scelte (combinazioni di 4 elementi presi a 2 a 2 =  $\binom{4}{2} = \frac{4!}{2!(4-2)!} = 6$ )



Rappresentazione	Variabili Indipendenti	Variabili Dipendenti
<b><math>R</math></b>	$i_1, i_2$	$v_1, v_2$
<b><math>G</math></b>	$v_1, v_2$	$i_1, i_2$
<b><math>H</math></b>	$i_1, v_2$	$v_1, i_2$
<b><math>H'</math></b>	$v_1, i_2$	$i_1, v_2$
<b><math>T</math></b>	$v_2, -i_2$	$v_1, i_1$
<b><math>T'</math></b>	$v_1, -i_1$	$v_2, i_2$



# Doppi Bipoli



Rappresentazione

$R$

Variabili  
Indipendenti

$i_1, i_2$

Variabili  
Dipendenti

$v_1, v_2$

Per un doppio bipolo lineare:

$$\begin{cases} v_1 = r_{11}i_1 + r_{12}i_2 \\ v_2 = r_{21}i_1 + r_{22}i_2 \end{cases}$$

dove:  $\mathbf{i} = \begin{bmatrix} i_1 \\ i_2 \end{bmatrix}$      $\mathbf{v} = \begin{bmatrix} v_1 \\ v_2 \end{bmatrix}$

in forma matriciale:

$$\boxed{\mathbf{v} = \mathbf{R}\mathbf{i}}$$

$$\mathbf{R} = \begin{bmatrix} r_{11} & r_{12} \\ r_{21} & r_{22} \end{bmatrix}$$

**matrice  
delle resistenze**

$$r_{11} = \left. \frac{v_1}{i_1} \right|_{i_2=0}$$

Resistenza equiv. alla porta #1  
con la porta #2 in circuito aperto

$$r_{12} = \left. \frac{v_1}{i_2} \right|_{i_1=0}$$

tensione alla porta #1  
(in circuito aperto) dovuta ad una  
corrente unitaria alla porta #2  
(transresistenza)

$$r_{22} = \left. \frac{v_2}{i_2} \right|_{i_1=0}$$

Resistenza equiv. alla porta #2  
con la porta #1 in circuito aperto

$$r_{21} = \left. \frac{v_2}{i_1} \right|_{i_2=0}$$

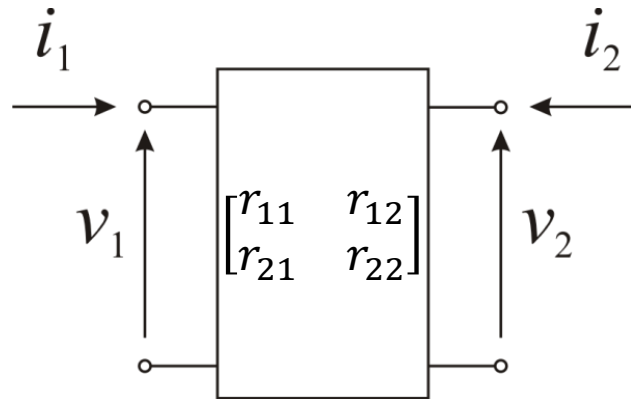
tensione alla porta #2  
(in circuito aperto) dovuta ad una  
corrente unitaria alla porta #1  
(transresistenza)



POLITECNICO  
DI TORINO

DET  
Department of Electronics and Telecommunications

# Doppi Bipoli - Caratteristiche



Rappresentazione

$R$

Variabili  
Indipendenti

$i_1, i_2$

Variabili  
Dipendenti

$v_1, v_2$

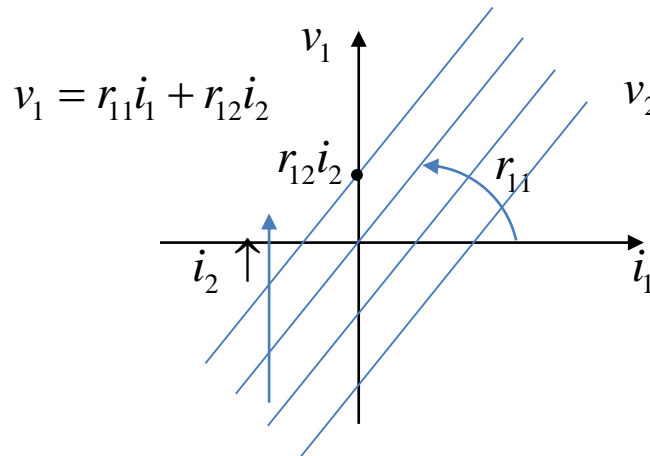
Per un doppio bipolo lineare:

$$\begin{cases} v_1 = r_{11}i_1 + r_{12}i_2 \\ v_2 = r_{21}i_1 + r_{22}i_2 \end{cases}$$

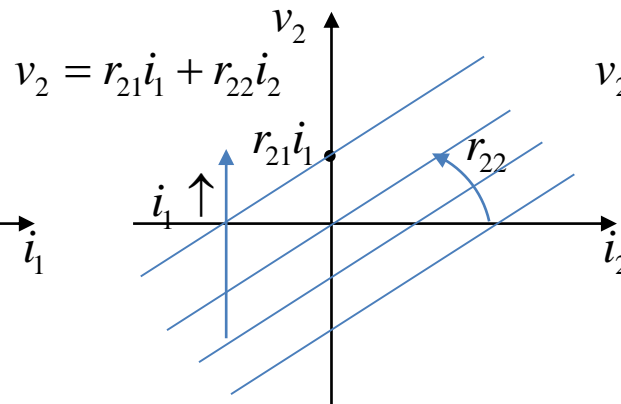
in forma matriciale:

$$\mathbf{v} = \mathbf{R}\mathbf{i}$$

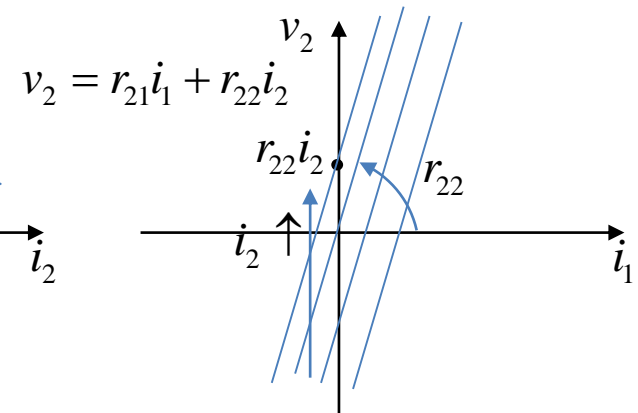
- Per ciascuna porta si possono disegnare (famiglie) di caratteristiche



Caratteristiche di Ingresso



Caratteristiche di Uscita



Transcaratteristiche

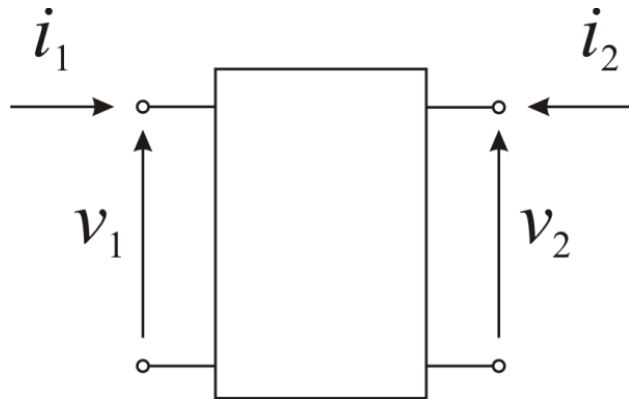


POLITECNICO  
DI TORINO

DET  
Department of Electronics and Telecommunications



# Doppi Bipoli



Rappresentazione

$G$

Per un doppio bipolo lineare:

$$\begin{cases} i_1 = g_{11}v_1 + g_{12}v_2 \\ i_2 = g_{21}v_1 + g_{22}v_2 \end{cases}$$

dove:  $\mathbf{i} = \begin{bmatrix} i_1 \\ i_2 \end{bmatrix}$      $\mathbf{v} = \begin{bmatrix} v_1 \\ v_2 \end{bmatrix}$

Variabili  
Indipendenti

$v_1, v_2$

Variabili  
Dipendenti

$i_1, i_2$

in forma matriciale:

$$\boxed{\mathbf{i} = G\mathbf{v}}$$

$$G = \begin{bmatrix} g_{11} & g_{12} \\ g_{21} & g_{22} \end{bmatrix}$$

**matrice  
delle conduttanze**

Significato dei parametri  $g$ :

$$g_{11} = \left. \frac{i_1}{v_1} \right|_{v_2=0}$$

Conduttanza alla porta #1  
con la porta #2 in corto circuito

$$g_{12} = \left. \frac{i_1}{v_2} \right|_{v_1=0}$$

corrente che fluisce alla porta #1  
(chiusa in corto circuito) a seguito  
di una eccitazione in tensione unitaria  
alla porta #2 (transconduttanza)

$$g_{22} = \left. \frac{i_2}{v_2} \right|_{v_1=0}$$

Conduttanza alla porta #2  
con la porta #1 in corto circuito

$$g_{21} = \left. \frac{i_2}{v_1} \right|_{v_2=0}$$

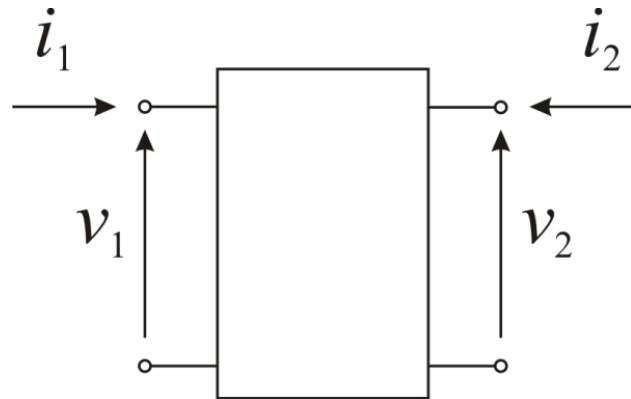
corrente che fluisce alla porta #2  
(chiusa in corto circuito) a seguito  
di una eccitazione in tensione unitaria  
alla porta #1 (transconduttanza)



POLITECNICO  
DI TORINO

DET  
Department of Electronics and Telecommunications

# Doppi Bipoli



Rappresentazione

**$H$**

Per un doppio bipolo lineare:

$$\begin{cases} v_1 = h_{11}i_1 + h_{12}v_2 \\ i_2 = h_{21}i_1 + h_{22}v_2 \end{cases}$$

in forma matriciale:

$$\begin{bmatrix} v_1 \\ i_2 \end{bmatrix} = H \begin{bmatrix} i_1 \\ v_2 \end{bmatrix}$$

Variabili  
Indipendenti

$i_1, v_2$

Variabili  
Dipendenti

$v_1, i_2$

$$H = \begin{bmatrix} h_{11} & h_{12} \\ h_{21} & h_{22} \end{bmatrix}$$

**matrice  
dei parametri ibridi**

Significato fisico dei parametri  $h$ :

$$h_{11} = \left. \frac{v_1}{i_1} \right|_{v_2=0}$$

Resistenza equiv. alla porta #1  
con la porta #2 in corto circuito  
dimensioni: resistenza

$$h_{12} = \left. \frac{v_1}{v_2} \right|_{i_1=0}$$

tensione alla porta #1  
(in circuito aperto) dovuta ad una  
tensione unitaria alla porta #2  
dimensioni: adimensionato  
(guadagno di tensione)

$$h_{22} = \left. \frac{i_2}{v_2} \right|_{i_1=0}$$

Conduttanza equiv. alla porta #2  
con la porta #1 in circuito aperto  
dimensioni: conduttanza

$$h_{21} = \left. \frac{i_2}{i_1} \right|_{v_2=0}$$

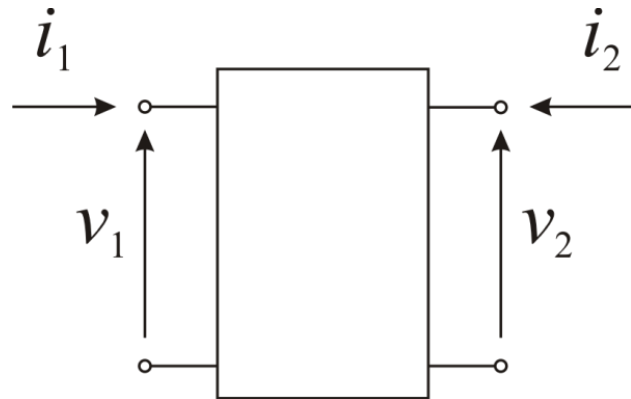
Corrente alla porta #2  
(in corto circuito) dovuta ad una  
corrente unitaria alla porta #1  
dimensioni: adimensionato  
(guadagno di corrente)



POLITECNICO  
DI TORINO

DET  
Department of Electronics and Telecommunications

# Doppi Bipoli



Rappresentazione

$H'$

Variabili  
Indipendenti

$v_1, i_2$

Variabili  
Dipendenti

$i_1, v_2$

Per un doppio bipolo lineare:

$$\begin{cases} i_1 = h'_{11}v_1 + h'_{12}i_2 \\ v_2 = h'_{21}v_1 + h'_{22}i_2 \end{cases}$$

in forma matriciale:

$$\begin{bmatrix} i_1 \\ v_2 \end{bmatrix} = H' \begin{bmatrix} v_1 \\ i_2 \end{bmatrix}$$

$$H' = \begin{bmatrix} h'_{11} & h'_{12} \\ h'_{21} & h'_{22} \end{bmatrix}$$

**matrice  
dei parametri ibridi  
inversi**

Significato fisico dei parametri  $h$ :

$$h'_{11} = \left. \frac{i_1}{v_1} \right|_{i_2=0}$$

Conduttanza equiv. alla porta #1  
con la porta #2 in circuito aperto  
dimensioni: conduttanza

$$h'_{12} = \left. \frac{i_1}{i_2} \right|_{v_1=0}$$

Corrente alla porta #1  
(in corto circuito) dovuta ad una  
tensione unitaria alla porta #2  
dimensioni: adimensionato  
(guadagno di corrente)

$$h'_{22} = \left. \frac{v_2}{i_2} \right|_{v_1=0}$$

Resistenza equiv. alla porta #2  
con la porta #1 in corto circuito  
dimensioni: resistenza

$$h'_{21} = \left. \frac{v_2}{v_1} \right|_{i_2=0}$$

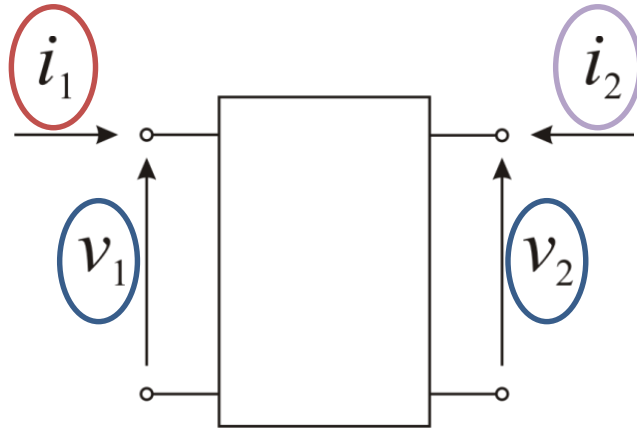
Tensione alla porta #2  
(in circuit aperto) dovuta ad una  
tensione unitaria alla porta #1  
dimensioni: adimensionato  
(guadagno di tensione)



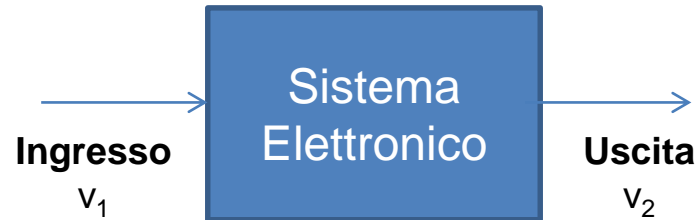
POLITECNICO  
DI TORINO

DET  
Department of Electronics and Telecommunications

# Doppi Bipoli: considerazioni sistemiche



Blocco Funzionale



$$h'_{11} = \left. \frac{i_1}{v_1} \right|_{i_2=0}$$

$$h'_{12} = \left. \frac{i_1}{i_2} \right|_{v_1=0}$$

Se l'ingresso non è fornito da un generatore di tensione ideale, la corrente  $i_1$  altera il valore di  $v_1$

La corrente d'ingresso  $i_1$  è funzione:

- della tensione applicata ☹
- della corrente in uscita ☹ ☹ (l'ingresso dipende dall'uscita!)

Effetti (spesso) indesiderati, non descritti nello schema a blocchi

$$h'_{22} = \left. \frac{v_2}{i_2} \right|_{v_1=0}$$

La tensione in uscita è anche funzione della corrente in uscita i.e. di che cosa colleghiamo alla porta d'uscita ☹.

Effetto (spesso) indesiderato, non descritto dallo schema a blocchi

$$h'_{21} = \left. \frac{v_2}{v_1} \right|_{i_2=0}$$

La tensione d'uscita è funzione della tensione in ingresso

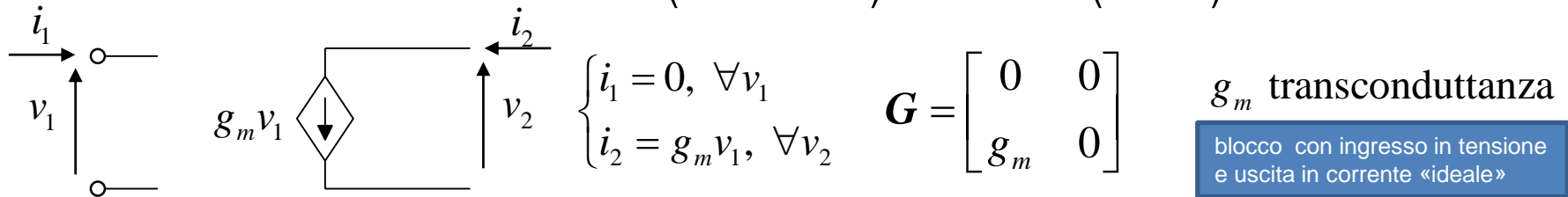
**E' quello che ci aspettiamo leggendo schema a blocchi**

Quali sono i doppi bipoli più simili ad un blocco funzionale? (see the next slide)

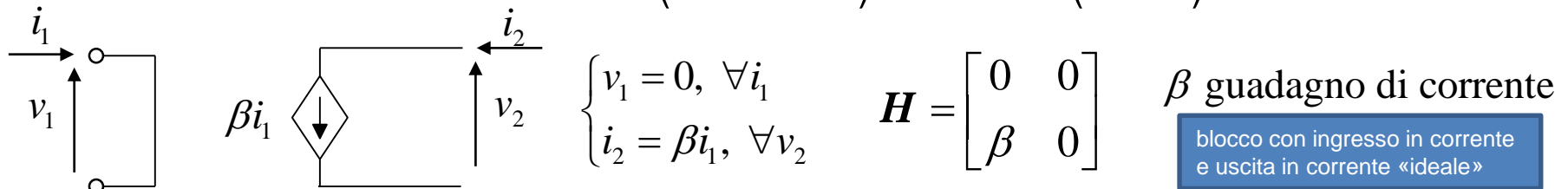


# I generatori controllati sono doppi bipoli

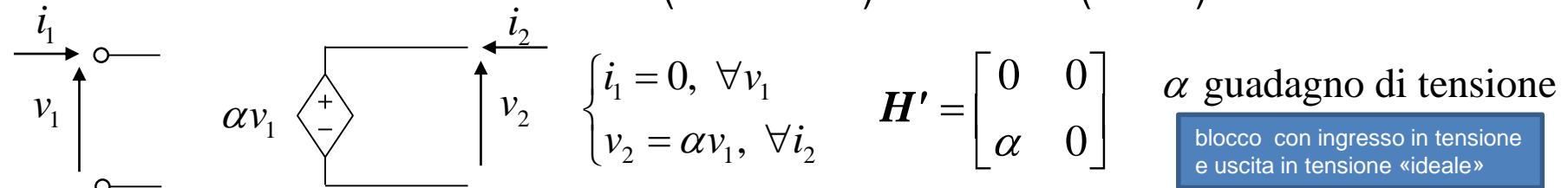
- Generatore di corrente controllato (comandato) in tensione (VCCS)



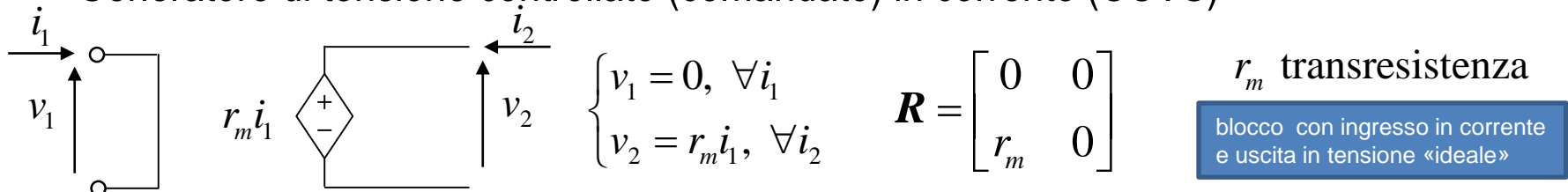
- Generatore di corrente controllato (comandato) in corrente (CCCS)



- Generatore di tensione controllato (comandato) in tensione (VCVS)



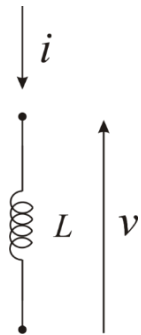
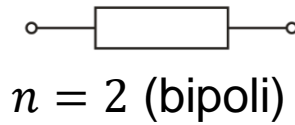
- Generatore di tensione controllato (comandato) in corrente (CCVS)



# Alcune generalizzazioni (caso dinamico)

Relazione  $v - i$

lineare

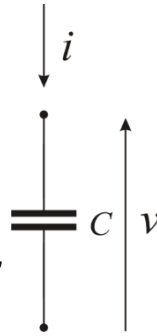


$$Z = sL$$

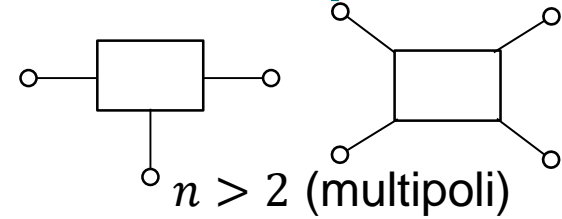
$$Y = 1/sL$$

$$Z = 1/sC$$

$$Y = sC$$



Numero terminali



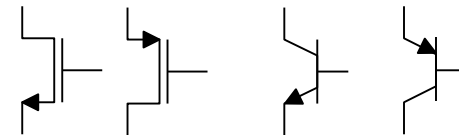
Le descrizioni dei  $k$ -porte si fanno nel dominio delle trasformate (possibile dato che siamo nel caso lineare!).

$$R \rightarrow Z \text{ e da } G \rightarrow Y$$

nonlineare



Diodo  
Ha effetti reattivi  
(nonlineari)



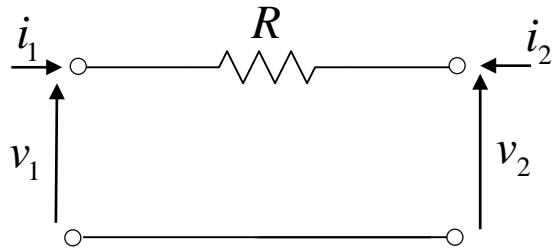
MOS e BJT  
Hanno effetti reattivi  
(lineari e nonlineari)



POLITECNICO  
DI TORINO

DET  
Department of Electronics and Telecommunications

# Esistono sempre tutte le descrizioni dei Doppi Bipoli?



$$i_1 = \frac{v_1 - v_2}{R}, \quad i_2 = -\frac{v_1 - v_2}{R}$$

$$\begin{bmatrix} i_1 \\ i_2 \end{bmatrix} = \begin{bmatrix} 1/R & -1/R \\ -1/R & 1/R \end{bmatrix} \begin{bmatrix} v_1 \\ v_2 \end{bmatrix}$$

- Esiste la matrice  $\mathbf{G}$  ma non la matrice  $\mathbf{R}$  dato che non è possibile esprimere  $v_1$  e  $v_2$  in funzione di  $i_1$  e  $i_2$

- Quindi non esistono sempre tutte le descrizioni. Come si passa dall'una all'altra?

$$\mathbf{v} = \mathbf{R}\mathbf{i} \Rightarrow \begin{bmatrix} v_1 \\ v_2 \end{bmatrix} = \begin{bmatrix} r_{11} & r_{12} \\ r_{21} & r_{22} \end{bmatrix} \begin{bmatrix} i_1 \\ i_2 \end{bmatrix} \quad \mathbf{i} = \mathbf{G}\mathbf{v} \Rightarrow \begin{bmatrix} i_1 \\ i_2 \end{bmatrix} = \begin{bmatrix} g_{11} & g_{12} \\ g_{21} & g_{22} \end{bmatrix} \begin{bmatrix} v_1 \\ v_2 \end{bmatrix}$$

Se esiste l'inversa di  $\mathbf{R}$ , cioè  $\mathbf{R}^{-1}$  tale per cui  $\mathbf{R}\mathbf{R}^{-1} = \mathbf{1}$ , dove  $\mathbf{1}$  è la matrice identità 2x2

$$\mathbf{v} = \mathbf{R}\mathbf{i} \rightarrow \mathbf{R}^{-1}\mathbf{v} = \mathbf{R}^{-1}\mathbf{R}\mathbf{i} = \mathbf{1}\mathbf{i} = \mathbf{i} \rightarrow \mathbf{R}^{-1}\mathbf{v} = \mathbf{i}$$

Se confrontiamo l'espressione di  $\mathbf{i}$  ricavata sopra con quella che definisce  $\mathbf{G}$

$$\mathbf{i} = \mathbf{R}^{-1}\mathbf{v} \quad \mathbf{i} = \mathbf{G}\mathbf{v}$$

Ne concludiamo che, se  $\mathbf{R}^{-1}$  esiste:

$$\mathbf{G} = \mathbf{R}^{-1}$$



# Formule di passaggio tra le varie descrizioni

da considerazioni matematiche e/o circuitali si ricavano relazioni tra i diversi parametri

	R	G	H	H'	T	T'
R	$\begin{matrix} r_{11} & r_{12} \\ r_{21} & r_{22} \end{matrix}$	$\begin{matrix} \underline{g_{22}} & -\underline{g_{12}} \\ \underline{\Delta G} & \underline{\Delta G} \\ -\underline{g_{21}} & \underline{g_{11}} \\ \underline{\Delta G} & \underline{\Delta G} \end{matrix}$	$\begin{matrix} \underline{\Delta H} & \underline{h_{12}} \\ h_{22} & h_{22} \\ h_{21} & 1 \\ h_{22} & h_{22} \end{matrix}$	$\begin{matrix} 1 & -\underline{h'_{12}} \\ h'_{11} & h'_{11} \\ h'_{21} & \underline{\Delta H'} \\ h'_{11} & h'_{11} \end{matrix}$	$\begin{matrix} \underline{A} & \underline{\Delta T} \\ \underline{C} & \underline{C} \\ 1 & \underline{D} \\ \underline{C} & \underline{C} \end{matrix}$	$\begin{matrix} \underline{D'} & 1 \\ \underline{C'} & \underline{C'} \\ \underline{\Delta T'} & \underline{A'} \\ \underline{C'} & \underline{C'} \end{matrix}$
G	$\begin{matrix} \underline{r_{22}} & -\underline{r_{12}} \\ \underline{\Delta R} & \underline{\Delta R} \\ -\underline{r_{21}} & \underline{r_{11}} \\ \underline{\Delta R} & \underline{\Delta R} \end{matrix}$	$\begin{matrix} g_{11} & g_{12} \\ g_{21} & g_{22} \end{matrix}$	$\begin{matrix} 1 & -\underline{h_{12}} \\ h_{11} & h_{11} \\ h_{21} & \underline{\Delta H} \\ h_{11} & h_{11} \end{matrix}$	$\begin{matrix} \underline{\Delta H'} & \underline{h'_{12}} \\ h'_{22} & h'_{22} \\ -\underline{h'_{21}} & 1 \\ h'_{22} & h'_{22} \end{matrix}$	$\begin{matrix} \underline{D} & -\underline{\Delta T} \\ \underline{B} & \underline{B} \\ -1 & \underline{A} \\ \underline{B} & \underline{B} \end{matrix}$	$\begin{matrix} \underline{A'} & -1 \\ \underline{B'} & \underline{B'} \\ -\underline{\Delta T'} & \underline{D'} \\ \underline{B'} & \underline{B'} \end{matrix}$
H	$\begin{matrix} \underline{\Delta R} & \underline{r_{12}} \\ r_{22} & r_{22} \\ -\underline{r_{21}} & 1 \\ r_{22} & r_{22} \end{matrix}$	$\begin{matrix} 1 & -\underline{g_{12}} \\ g_{11} & g_{11} \\ \underline{g_{21}} & \underline{\Delta G} \\ g_{11} & g_{11} \end{matrix}$	$\begin{matrix} h_{11} & h_{12} \\ h_{21} & h_{22} \end{matrix}$	$\begin{matrix} \underline{h'_{22}} & -\underline{h'_{12}} \\ \underline{\Delta H} & \underline{\Delta H} \\ -\underline{h'_{21}} & \underline{h'_{11}} \\ \underline{\Delta H} & \underline{\Delta H} \end{matrix}$	$\begin{matrix} \underline{B} & \underline{\Delta T} \\ \underline{D} & \underline{D} \\ -1 & \underline{C} \\ \underline{D} & \underline{D} \end{matrix}$	$\begin{matrix} \underline{B'} & 1 \\ \underline{A'} & \underline{A'} \\ -\underline{\Delta T'} & \underline{C'} \\ \underline{A'} & \underline{A'} \end{matrix}$
H'	$\begin{matrix} 1 & -\underline{r_{12}} \\ r_{11} & r_{11} \\ r_{21} & \underline{\Delta R} \\ r_{11} & r_{11} \end{matrix}$	$\begin{matrix} \underline{\Delta G} & \underline{g_{12}} \\ g_{22} & g_{22} \\ -\underline{g_{21}} & 1 \\ g_{22} & g_{22} \end{matrix}$	$\begin{matrix} \underline{h_{22}} & -\underline{h_{12}} \\ \underline{\Delta H} & \underline{\Delta H} \\ h_{21} & h_{11} \\ \underline{\Delta H} & \underline{\Delta H} \end{matrix}$	$\begin{matrix} h'_{11} & h'_{12} \\ h'_{21} & h'_{22} \end{matrix}$	$\begin{matrix} \underline{C} & -\underline{\Delta T} \\ \underline{A} & \underline{A} \\ 1 & \underline{B} \\ \underline{A} & \underline{A} \end{matrix}$	$\begin{matrix} \underline{C'} & -1 \\ \underline{D'} & \underline{D'} \\ \underline{\Delta T'} & \underline{A'} \\ \underline{D'} & \underline{D'} \end{matrix}$
T	$\begin{matrix} \underline{r_{11}} & \underline{\Delta R} \\ r_{21} & r_{21} \\ 1 & \underline{r_{22}} \\ r_{21} & r_{21} \end{matrix}$	$\begin{matrix} -\underline{g_{22}} & -1 \\ g_{21} & g_{21} \\ \underline{\Delta G} & -\underline{g_{11}} \\ g_{21} & g_{21} \end{matrix}$	$\begin{matrix} -\underline{\Delta H} & -\underline{h_{11}} \\ h_{21} & h_{21} \\ -\underline{h_{22}} & -1 \\ h_{21} & h_{21} \end{matrix}$	$\begin{matrix} 1 & \underline{h'_{22}} \\ h'_{21} & h'_{21} \\ \underline{h'_{11}} & \underline{\Delta H'} \\ h'_{21} & h'_{21} \end{matrix}$	$\begin{matrix} A & B \\ C & D \end{matrix}$	$\begin{matrix} \underline{D'} & \underline{B'} \\ \underline{\Delta T'} & \underline{\Delta T'} \\ \underline{C'} & \underline{A'} \\ \underline{\Delta T'} & \underline{\Delta T'} \end{matrix}$
T'	$\begin{matrix} \underline{r_{22}} & \underline{\Delta R} \\ r_{21} & r_{12} \\ 1 & \underline{r_{11}} \\ r_{12} & r_{12} \end{matrix}$	$\begin{matrix} -\underline{g_{11}} & -1 \\ g_{12} & g_{12} \\ \underline{\Delta G} & -\underline{g_{11}} \\ g_{12} & g_{12} \end{matrix}$	$\begin{matrix} 1 & \underline{h_{11}} \\ h_{12} & h_{12} \\ \underline{h_{22}} & \underline{\Delta H} \\ h_{12} & h_{12} \end{matrix}$	$\begin{matrix} -\underline{\Delta H'} & -\underline{h'_{22}} \\ h'_{12} & h'_{12} \\ -\underline{h'_{11}} & -1 \\ h'_{12} & h'_{12} \end{matrix}$	$\begin{matrix} \underline{D} & \underline{B} \\ \underline{\Delta T} & \underline{\Delta T} \\ \underline{C} & \underline{A} \\ \underline{\Delta T} & \underline{\Delta T} \end{matrix}$	$\begin{matrix} A' & B' \\ C' & D' \end{matrix}$

$$\Delta M = \det(M)$$

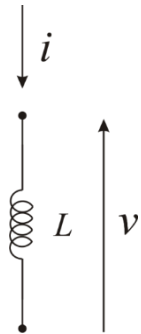
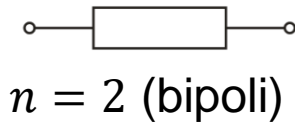




# Alcune generalizzazioni (caso dinamico)

Relazione  $v - i$

lineare

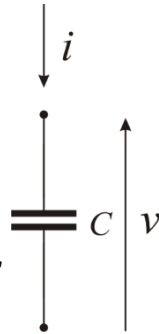


$$Z = sL$$

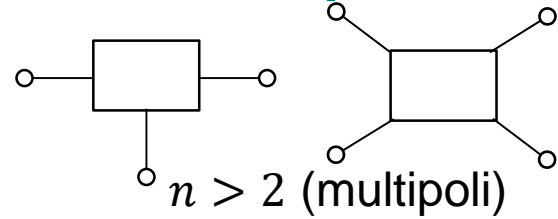
$$Y = 1/sL$$

$$Z = 1/sC$$

$$Y = sC$$



Numero terminali



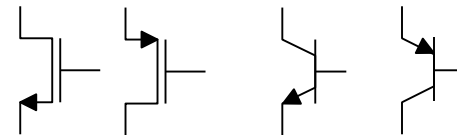
Le descrizioni dei  $k$ -porte si fanno nel dominio delle trasformate (possibile dato che siamo nel caso lineare!).

$$R \rightarrow Z \text{ e da } G \rightarrow Y$$

nonlineare



Diodo  
Ha effetti reattivi  
(nonlineari)



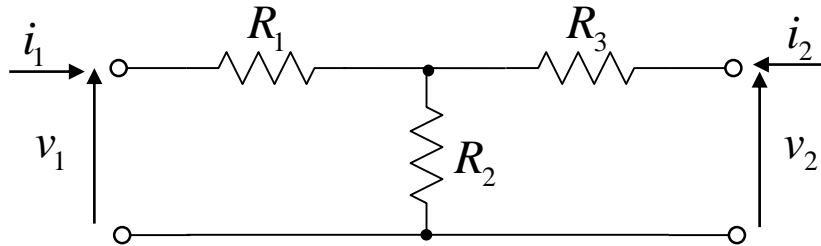
MOS e BJT  
Hanno effetti reattivi  
(lineari e nonlineari)



POLITECNICO  
DI TORINO

DET  
Department of Electronics and Telecommunications

# Esercizio: Calcolare la Matrice R



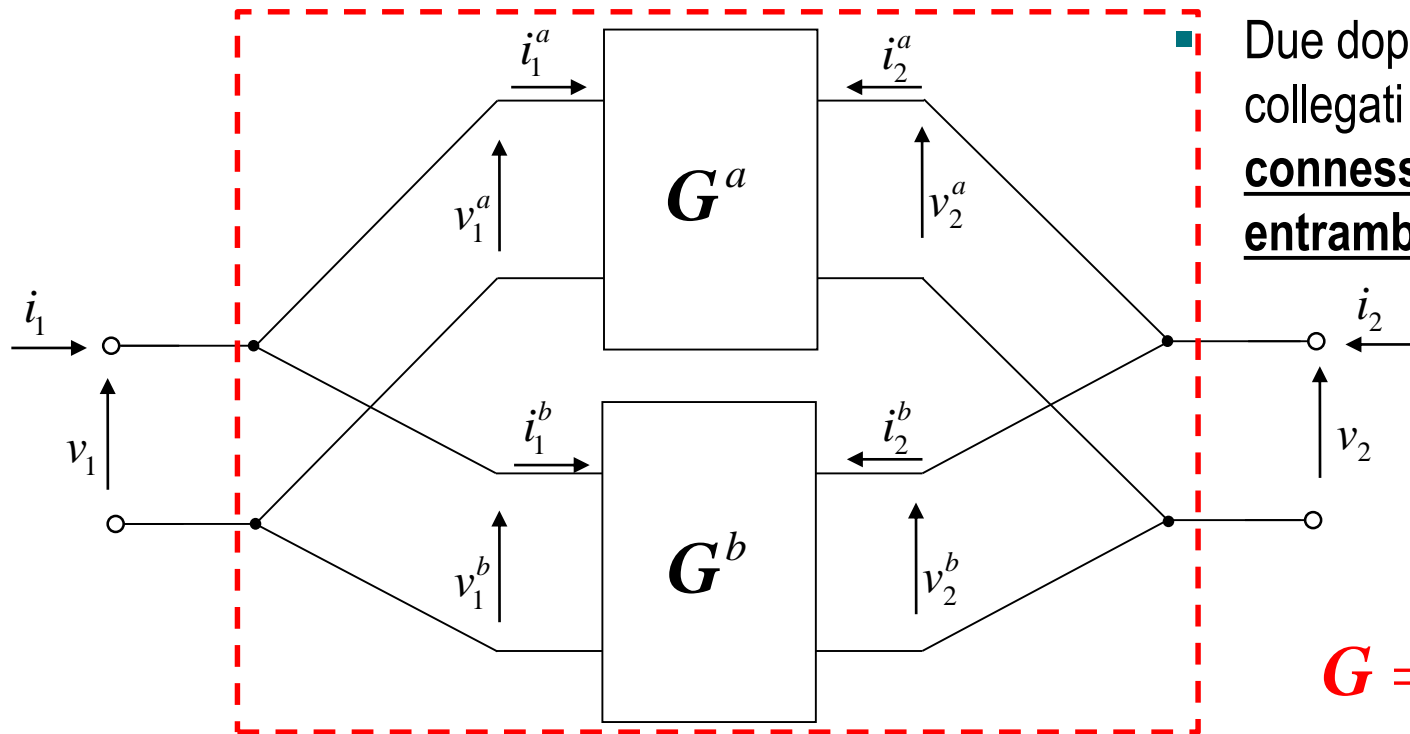
$$v_1 = R_1 i_1 + R_2 (i_1 + i_2) \text{ LKV alla maglia di ingresso}$$

$$v_2 = R_3 i_2 + R_2 (i_1 + i_2) \text{ LKV alla maglia di uscita}$$

$$\begin{cases} v_1 = (R_1 + R_2) i_1 + R_2 i_2 \\ v_2 = R_2 i_1 + (R_3 + R_2) i_2 \end{cases} \quad \mathbf{R} = \begin{bmatrix} R_1 + R_2 & R_2 \\ R_2 & R_3 + R_2 \end{bmatrix}$$



# Esercizio: Connessione in Parallelo di Doppi Bipoli



- Due doppi bipoli solo collegati in parallelo se sono connesse in parallelo entrambe le porte

$$\mathbf{G} = (\mathbf{G}^a + \mathbf{G}^b)$$

$$\mathbf{i}^a = \begin{bmatrix} i_1^a \\ i_2^a \end{bmatrix} = \begin{bmatrix} g_{11}^a & g_{12}^a \\ g_{21}^a & g_{22}^a \end{bmatrix} \begin{bmatrix} v_1^a \\ v_2^a \end{bmatrix}$$

$$v_1^a = v_1^b = v_1, \quad v_2^a = v_2^b = v_2$$

$$\Rightarrow \mathbf{v}^a = \mathbf{v}^b = \mathbf{v}$$

$$\Rightarrow \mathbf{i} = \begin{bmatrix} i_1 \\ i_2 \end{bmatrix} = \mathbf{i}^a + \mathbf{i}^b = \mathbf{G}^a \mathbf{v}^a + \mathbf{G}^b \mathbf{v}^b$$

$$\mathbf{i}^b = \begin{bmatrix} i_1^b \\ i_2^b \end{bmatrix} = \begin{bmatrix} g_{11}^b & g_{12}^b \\ g_{21}^b & g_{22}^b \end{bmatrix} \begin{bmatrix} v_1^b \\ v_2^b \end{bmatrix}$$

$$i_1 = i_1^a + i_1^b, \quad i_2 = i_2^a + i_2^b \quad = (\mathbf{G}^a + \mathbf{G}^b) \mathbf{v}$$



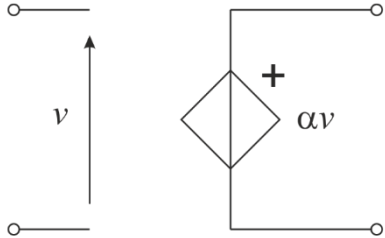
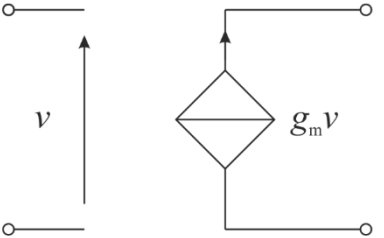
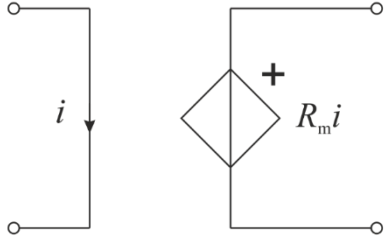
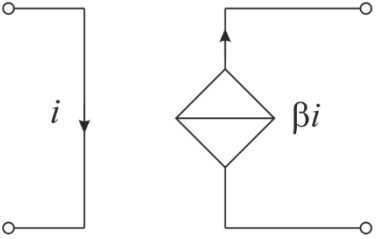
# Concetti di Base

- Generatori Pilotati (detti anche *controllati*, *comandati* o *dipendenti*)
  - Classificazione
  - Metodo del Pilota



# Generatori Pilotati (controllati, comandati, dipendenti)

Grandezza pilotata

		Tensione	Corrente
Grandezza pilota	Tensione	<p>Generatore di tensione controllato in tensione</p> 	<p>Generatore di corrente controllato in tensione</p> 
	Corrente	<p>Generatore di tensione controllato in corrente</p> 	<p>Generatore di corrente controllato in corrente</p> 

i generatori pilotati, a differenza dei gen. indipendenti, non sono bipoli perché è necessario introdurre una seconda coppia di terminali (porta) per definire la **grandezza pilota**

di fatto si tratta di **doppi bipoli**, che ammettono solo una delle rappresentazioni (R, G, H o H', vedi slide seguente)

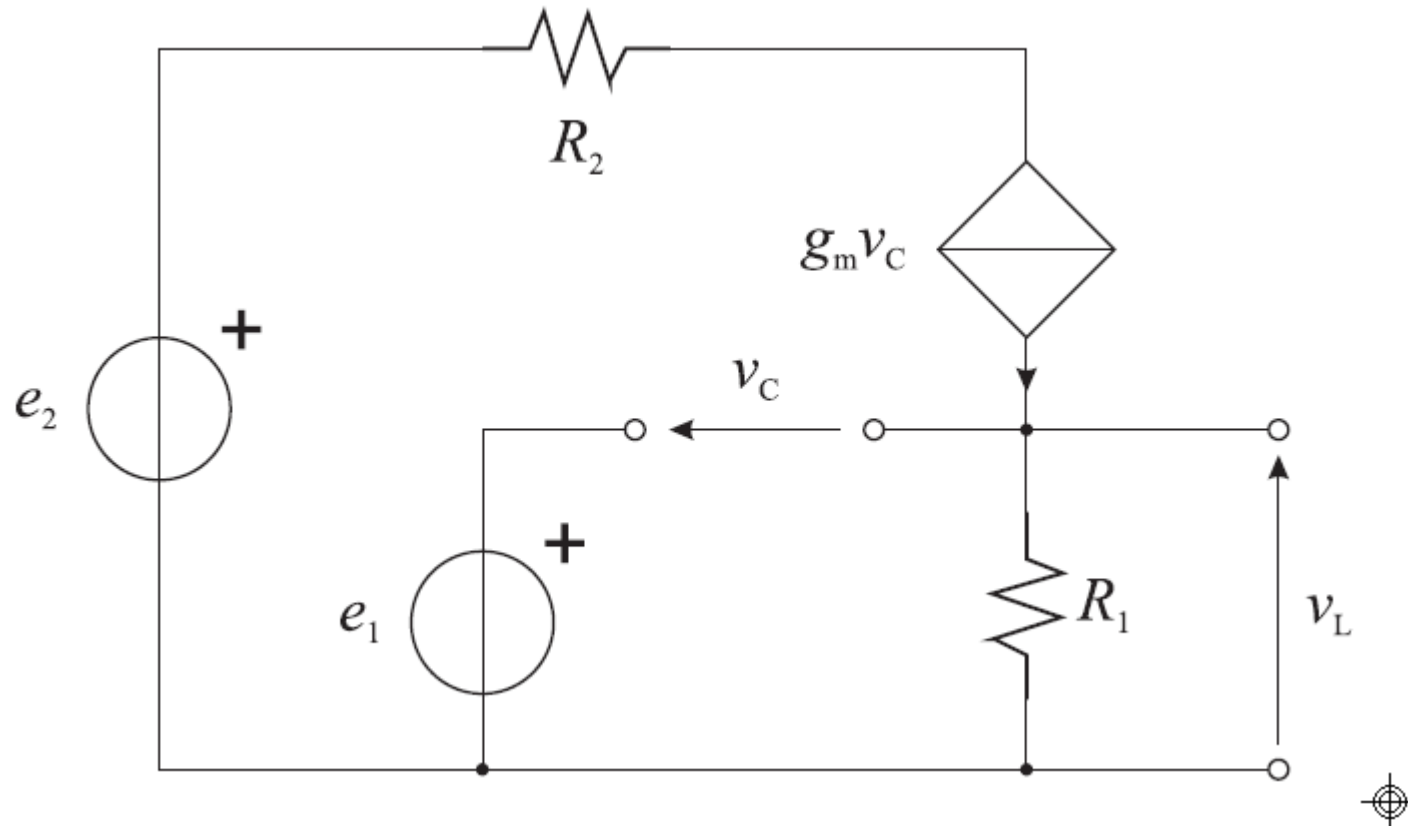


POLITECNICO  
DI TORINO

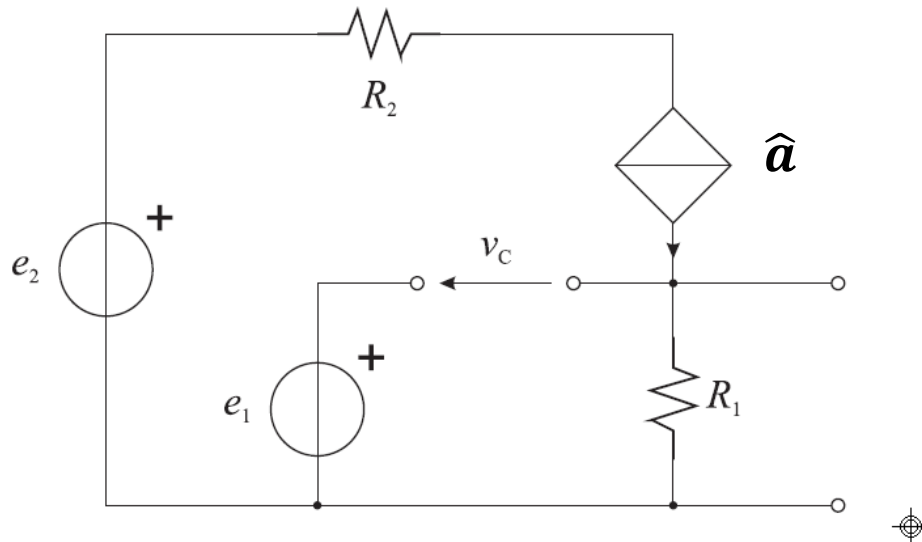
DET  
Department of Electronics and Telecommunications

# Analisi di Circuiti con Gen. Pilotati: Metodo del Pilota

Calcolare la tensione d'uscita  $v_L$  in funzione delle tensioni impresses dai generatori indipendenti  $e_1$  ed  $e_2$ .



# Analisi di Circuiti con Gen. Pilotati: Metodo del Pilota



Si procede in 3 passi:

PASSO 1: si determina la grandezza pilota  $v_C$  in funzione dei generatori indipendenti, trattando il generatore pilotato come un generatore indipendente di valore incognito  $\hat{a}$

Il circuito è lineare e si può applicare il principio di sovrapposizione degli effetti:

contributo di:

$$v_C = v_C^{(1)} + v_C^{(2)} + v_C^{(3)}$$

$\downarrow$        $\downarrow$        $\downarrow$   
 $e_1$      $e_1$      $\hat{a}$

Analizzando il circuito:

$$v_C^{(1)} = e_1$$

$$v_C^{(2)} = 0$$

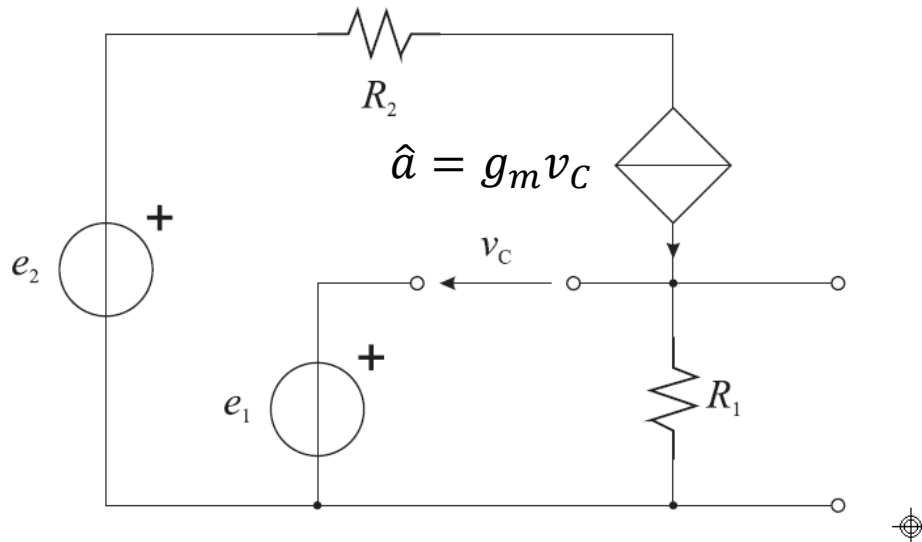
$$v_C^{(3)} = -R_1 \hat{a}$$



$$v_C = e_1 - R_1 \hat{a}$$



# Analisi di Circuiti con Gen. Pilotati: Metodo del Pilota

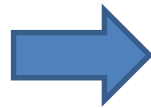


Si procede in 3 passi:

PASSO 2: dall'espressione della grandezza pilota  $v_C$  ottenuta al passo precedente e dalla relazione costitutiva del generatore pilotato ( $\hat{a} = g_m v_C$ ) e si ricavano così la grandezza pilota  $v_C$  e la grandezza pilotata  $\hat{a}$  in funzione di soli generatori indipendenti

$$\begin{cases} v_C = e_1 - R_1 \hat{a} \\ \hat{a} = g_m v_C \end{cases}$$

$$\begin{cases} v_C = e_1 - R_1 g_m v_C \\ \hat{a} = g_m v_C \end{cases}$$

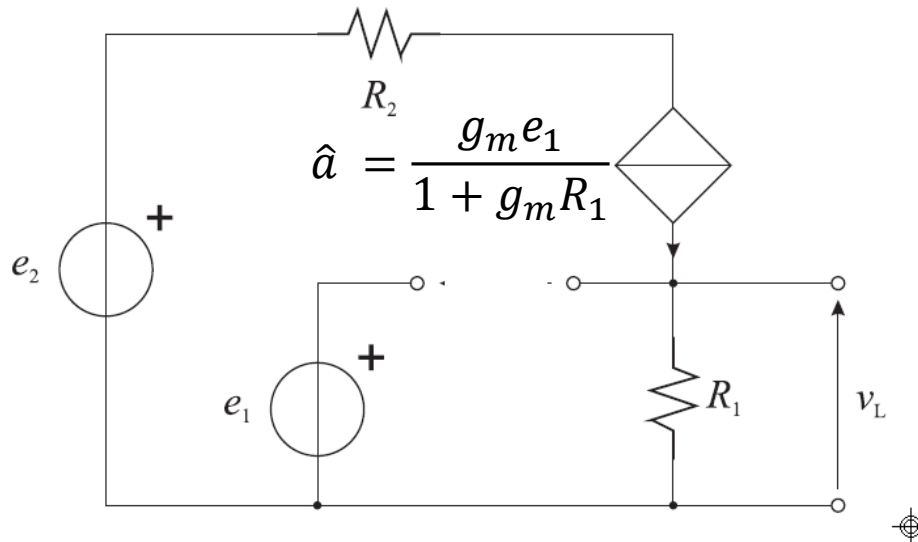


$$\begin{cases} v_C = \frac{e_1}{1 + g_m R_C} \\ \hat{a} = \frac{g_m e_1}{1 + g_m R_C} \end{cases}$$





# Analisi di Circuiti con Gen. Pilotati: Metodo del Pilota



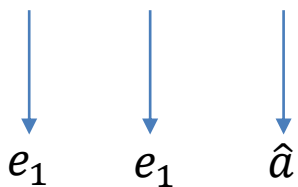
Si procede in 3 passi:

PASSO 3: si ricava l'uscita richiesta  $v_L$ , trattando il generatore pilotato come un generatore indipendente  $\hat{a}$  di valore **noto**, e pari a quello ottenuto nel passo 2.

Il circuito è lineare e si può applicare il principio di sovrapposizione degli effetti:

$$v_L = v_L^{(1)} + v_L^{(2)} + v_L^{(3)}$$

contributo di:

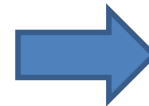


Analizzando il circuito:

$$v_L^{(1)} = 0$$

$$v_L^{(2)} = 0$$

$$v_L^{(3)} = R_1 \hat{a}$$



$$v_L = \frac{g_m R_1}{1 + g_m R_1} e_1$$

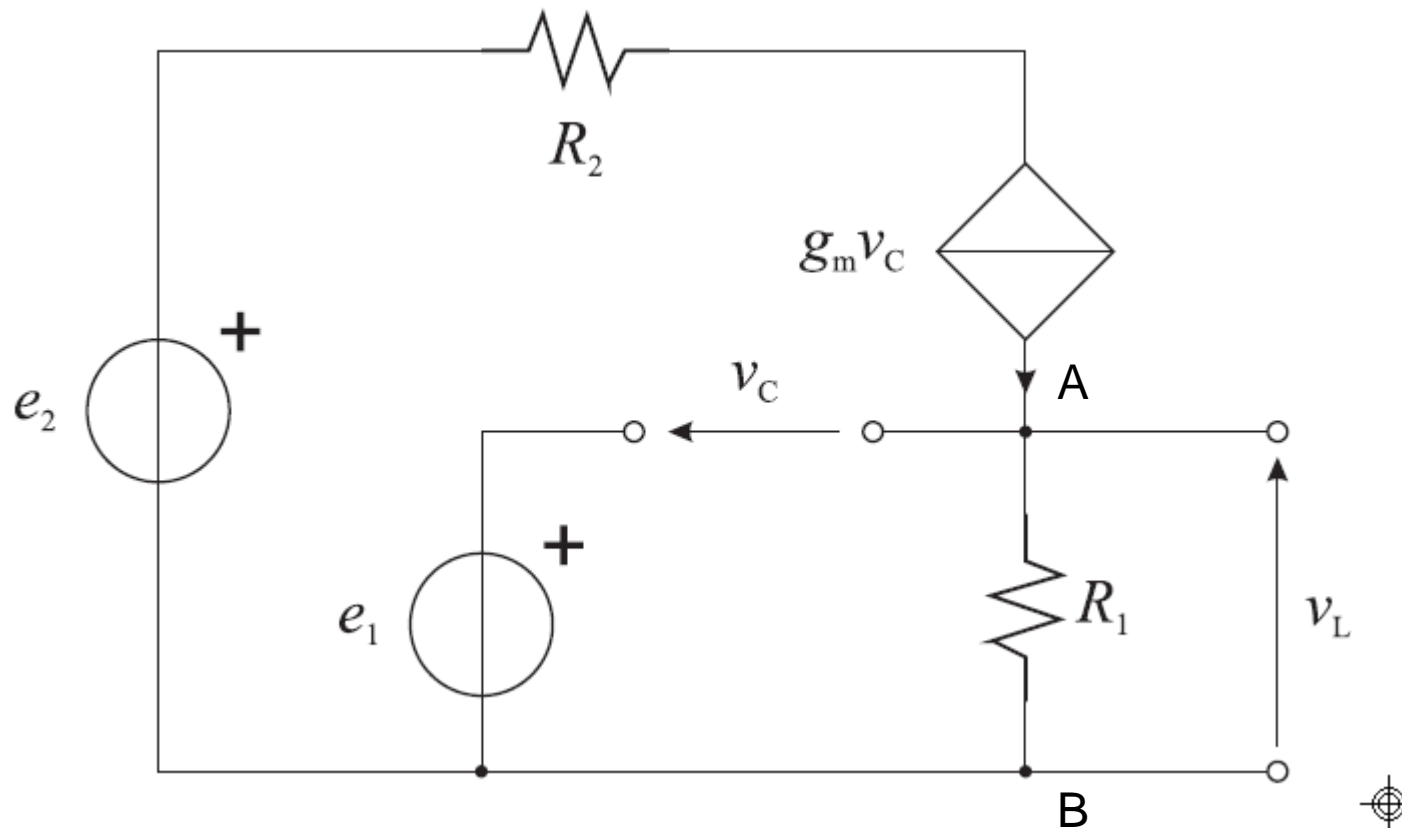


POLITECNICO  
DI TORINO

DET  
Department of Electronics and Telecommunications

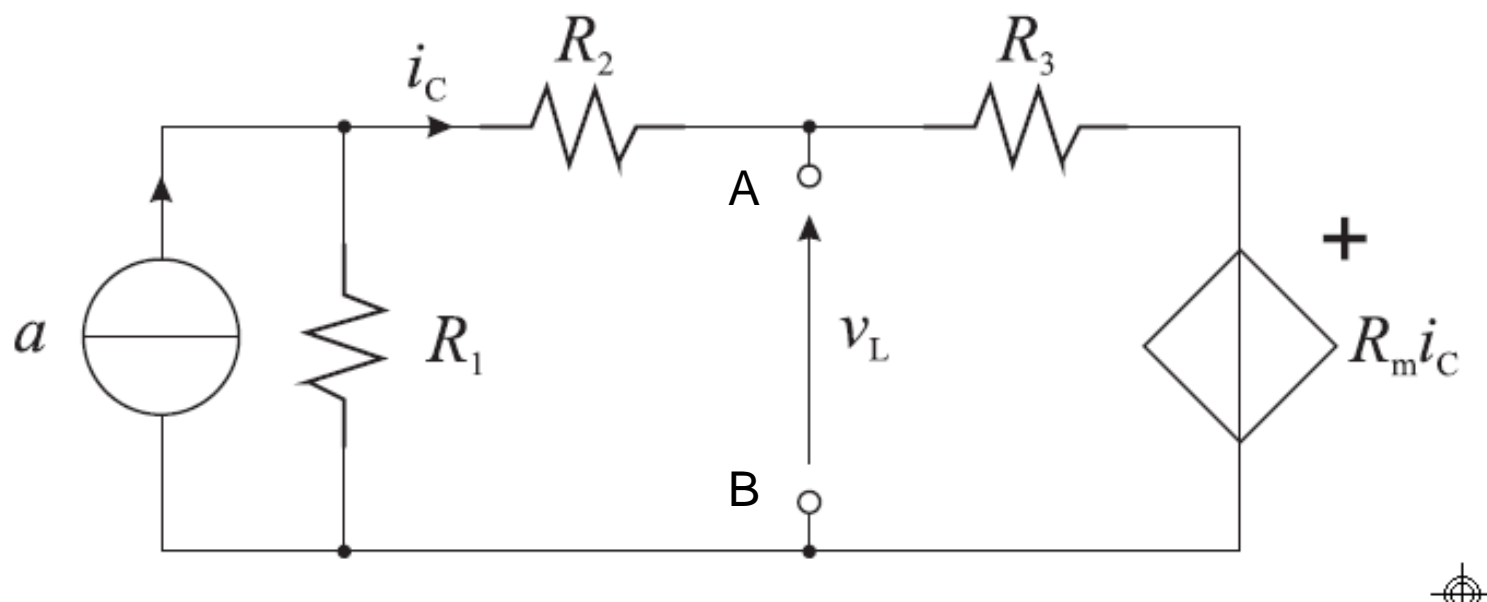
# Esercizio: Analisi di Circuiti con Generatori Pilotati

- Calcolare la tensione d'uscita  $v_L$  in funzione delle tensioni impresses dai generatori indipendenti  $e_1$  ed  $e_2$ .
- Determinare i parametri dell'equivalente di Thévenin ai morsetti AB.



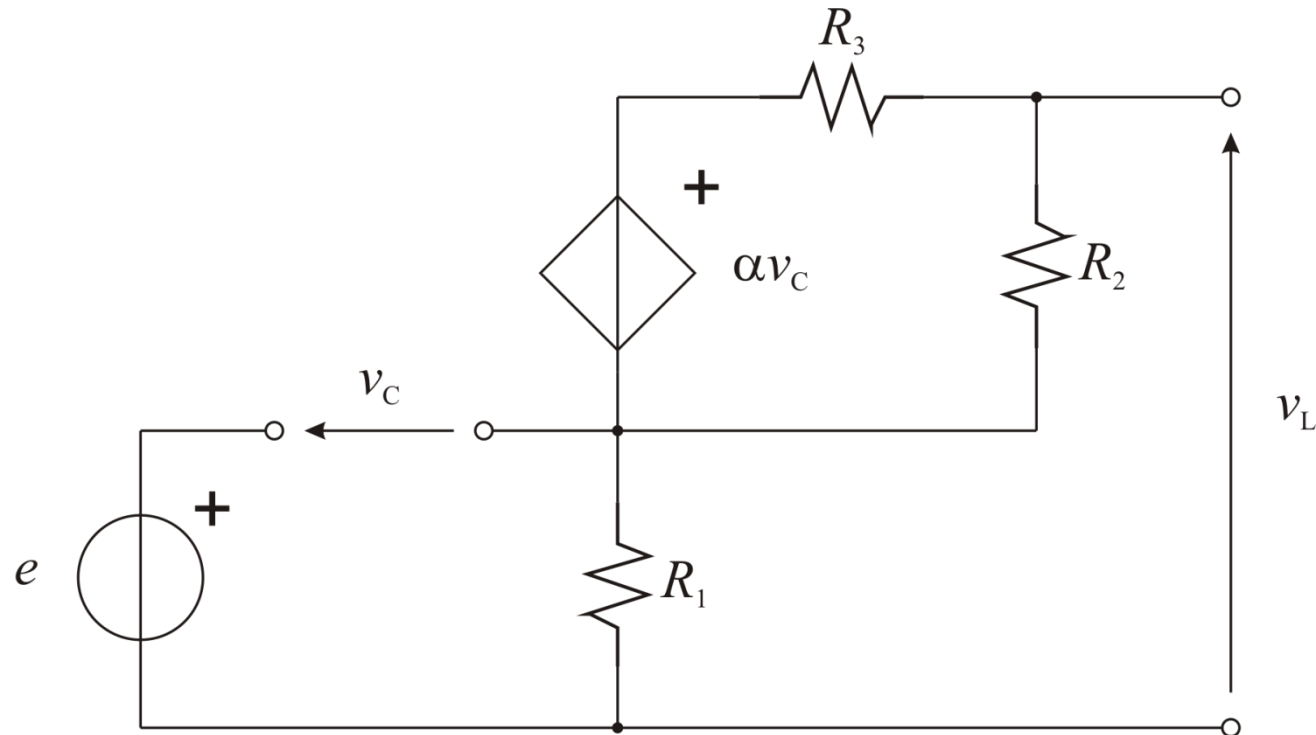
# Esercizio: Analisi di Circuiti con Generatori Pilotati

- Calcolare la tensione d'uscita  $v_L$  in funzione della corrente impressa dal generatore indipendente  $a$ .
- Determinare i parametri dell'equivalente di Norton ai morsetti AB.



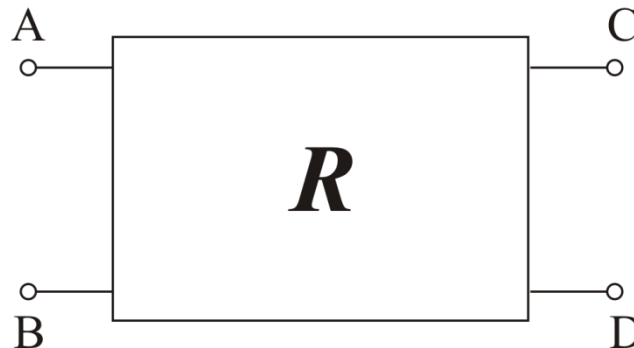
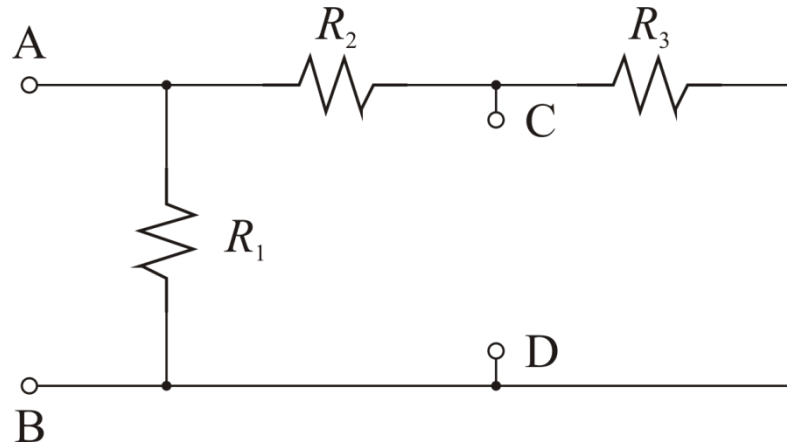
# Esercizio: Analisi di Circuiti con Generatori Pilotati

- Calcolare la tensione d'uscita  $v_L$  in funzione della tensione impressa dal generatore indipendente  $e$ .



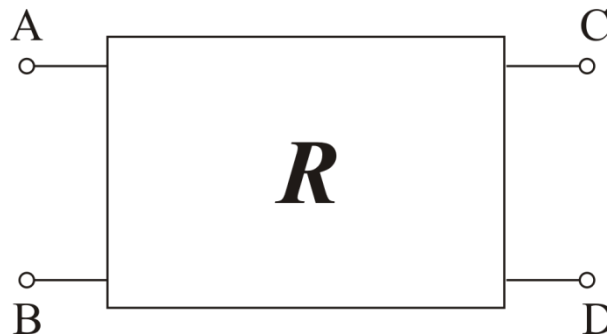
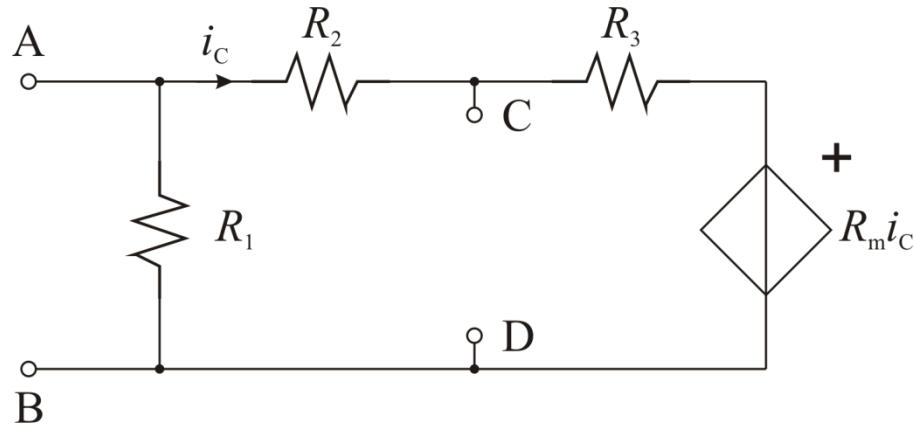
# Esercizio: Doppio Bipoli

- Determinare i parametri della matrice  $\mathbf{R}$  del doppio bipolo alle porte AB e CD del circuito in figura.



# Esercizio: Doppio Bipoli

- Determinare i parametri della matrice  $\mathbf{R}$  del doppio bipolo alle porte AB e CD del circuito in figura.



# Esercizio: Doppio Bipoli

- Determinare i parametri ibridi inversi (matrice  $\mathbf{H}'$ ) del doppio bipolo alle porte AB e CD del circuito in figura.

